

**LIETUVOS MISKU INSTITUTAS**

**Jonas Grigaliūnas**

**Disertacijos**

**LIETUVOS PUSYNŲ PRIEAUGIO I  
SKERSMENI DINAMINES PUSIAUSVYROS  
POSLINKIŲ ANALIZĖ**

miškotyros krypties habilituoto daktaro mokslo laipsniui  
igytis

**autoreferatas**

Kaunas - Girionys, 1994

## BENDRA DARBO CHARAKTERISTIKA

Darbas padarytas Lietuvos miškų institute

Habilitacinis komitetas patvirtintas Lietuvos miškų instituto Senate 1994 sausio 18 d. ir suderintas su Lietuvos žemės ūkio akademijos Taryba

Habilitacijos komiteto sudėtis:

Pirmyninkas - Lietuvos MA narys, agrar. m. habil. dr., prof.  
Leonardas Kairiūkštis (Lietuvos miškų institutas)

Nariai:  
- gamtos m. habil. dr. Teodoras Bitvinskas  
(Vytauto Didžiojo universitetas);  
- agrar. m. habil. dr. prof. Romualdas Deltuvas  
(Lietuvos žemės ūkio akademija);  
- agrar. m. habil. dr. Jonas Kenstavičius  
(Lietuvos miškų institutas);  
- agrar. m. habil. dr. Andrius Kuliešis  
(Dubravos eksperimentinė miškų urėdija);  
- agrar. m. habil. dr. prof. Imant Liepa  
(Latvijos žemės ūkio universitetas);  
- agrar. m. habil. dr. Juozas Ruseckas  
(Lietuvos miškų institutas).

Disertacija bus ginama 1994 m.

### Temos aktualumas

Iki pat šių dienų svarbiausios miškų sektoriuje mokslo problemos yra susijusios su medynų sandaro dėsningumais, taksaciinių rodiklių ivertinimo metodais ir tikslumu, medynų augimo eiga ir matematiniu jos modeliavimu, prieaugio, produktyvumo ir našumo tyrimais, našių medynų formavimu, kirtimo apimčių ir jų efektyvumo optimizavimu, selekcija. Spartus aplinkos užterštumo didinimas pastaruoju metu iškélé naujų ir ypatingai svarbią miškų augimo pokyčių vertinimo problemą, glaudžiai susijusią su priverstiniais antropogeninės kilmės klimato dinaminės pusiausvyros pasikeitimais.

Teršalų poveikis miškų augimui yra dvejopas : tiesioginis (cheminėmis medžiagomis naikinamas medžių asimiliacinius aparatus) ir ryškėjantis klimato pokyčiuose. Ore esančios dujos ardo troposferos ozoną ir tuo didina ultravioletinių spindulių pralaidumą į Zemės paviršių, kurie pragaištingai veikia augaliją ir gyvūniją. Dujos, sugerdamos kosminiu ir Zemės paviršiaus atspindimą ilgųjų spindulių energiją , sukelia šiltnamio efektą. Prognozuojama (R. Brown, E. Wolf, 1988), kad to pasekoje oro temperatūra gali pakilti 1.5-4.5 °C. Temperatūrinio režimo pokytis gali pakeisti drėgmės režimą, o visumoje - klimatinės sąlygas.

Tiesioginiai antropogeninės kilmės pokyčiai miškų augime jau akivaizdūs. Tačiau gausi pasaulinė ir Lietuvos monitoringo informacija . Bet nuoseklus pokyčių ivertinimas yra sudėtingas dėl augimą veikiančių nuolat dinamišiame stovyje esančių klimatinų sąlygų ir įvairiareikšmio tiesioginio teršimo poveikio. Teršimas pradžioje gali būti trėšimo veiksniu, o vėliau iššaukti defoliaciją, žymų prieaugio sumažėjimą, ar net miškų žuvimą.

Augimas ir prieaugiu dinamika vertinami įvairiais metodais, standartais bei ju matematiniais modeliais, sudarytais miškotyros ir dendroklimatochronologijos mokslų srityse. Medynų augimo eigos, bonitavimo ar prieaugiu standartai bei modeliai yra skirti medynų našumui vertinti ir

klasifikuoti einamuoju momentu. Tačiau prieaugiu dinaminės pusiausvyros poslinkio vertinimui jie neturi stabilios ir atviros atskaitos sistemos, tiesiogiai susietos su einamaisiais prieaugiais. Todėl tokie standartai aplinkos salygu dinamikos poslinkiams, kurie iššaukia ir prieaugiu kitimą, vertinti nepritaikyti.

Antropogeniniams augimo pokyčiams vertinti dendrochronologijoje naudojami specialūs metodai. Vienas ju - kontrolinio medyno metodas - pagristas paveikto ir neliesto medynų atrinktu medžių einamuų prieaugiu sugretinimu. Tuo eliminuojama klimatinė fluktuacijų įtaka. Tačiau foninio teršimo įtaka ir klimato dinaminės pusiausvyros kitimo poveikis (kaip ir paties poslinkio egzistavimas) lieka neįvertinti, nes metodas neturi pastovios atskaitos sistemos.

Augimo svyražimams vertinti ir prognozuoti naudojamas kalibravimo - verifikavimo metodas, pagristas metiniu prieaugiu ryšiu su įvairiais klimatiniais ingredientais. Metodas mūsų tikslams taip pat nepanaudotinas, nes, keičiantis klimatinėms salygoms, ryšys tarp rodiklių (atsakas į aplinkos poveikį) gali pasikeisti (P.Jones, 1989) ir turimi ryšio parametrai nebegalės atspindėti nustatytyų dėsningumų. Keičiantis kardinaliniams faktoriaus (šiuo atveju klimato) taškams, sistema gali pasikeisti (Amena M., 1980).

Dėl jau minėtų priežasčių dinaminės pusiausvyros polinkiams nustatyti taip pat negalima panaudoti ir kitų dendrochronologinių - spektrinės analizės, etaloninių dendroskalių - metodų, pritaikytų prieaugiu fluktuacijoms išryškinti bei einamajam prognozavimui. Klimatinės fluktuacijos augina reglamentuoja tik dinaminiu aspektu, ir, turėdamos santykine išraišką, nieko negali pasakyti apie absolutini prieaugio pasikeitimą po aplinkos salygu pokyčio, nes pačios prieaugiu laiko eilutės, kaip minėjome, neturi stabilios atskaitos sistemos, griežtai apibréžiančios prieaugio dydi ir esamas salygas. Be tokios sistemos miškotyros srities ekologijos mokslas, kaip parodė ir literatūros analizė, išsamiau charakterizuoti augino proceso pokyčių negalės. Tuo tarpu 10-tajame Pasauliniame miškininkystės kongrese (Paryžius, 1991) buvo pažymėta, kad dar nėra patikimų žinių apie apibendrintą medžių ir kitų

augalu bei dirvožemio organizmu atsaką į vykstančius fizinius (oro, temperatūros, drėgmės, radiacijos intesivumo ir spektrinius kitimus) bei cheminius ( $\text{CO}_2$ , teršimo) pasikeitimus atmosferoje. Klimato pokyčio imitacinis modelis dar nesudarytas. Taigi, dar ir dabar, kaip aiškiai yra pažymėjės vienas iš daugelio tyrinėtojų - Nilsonas (Nilsson A., Kiviste A., 1986) - "nėra foninių medynų (arba standartų, aut.), kurie padėtų pastebeti globalini augimo salygu dreifa". Todėl dabar, dar galint analizuoti menkai foninio teršimo paliesta medžių einamuų prieaugiu retrospektyvinę informaciją, būtina ją atitinkamai struktūruoti, paruošiant einamuų prieaugiu kitimo vertinimo standartą. Pastebėti augimo pasikeitimai padės giliau įvertinti ir pačios aplinkos dinaminės pusiausvyros poslinkio sparta ir svarba. O su tuo jau yra susiję ekonominės veiklos ir aplinkos ryšių valdymo ypatumai.

#### DARBO TIKSLAS

Darbas yra skirtas plačiausiai Lietuvoje paplitusios medžių rūšies - pušies - medynų augine viršaujančios medžių dalies radialinio prieaugio poslinkių įvertinimo metodikai sukurti, paruošiant standartinę (stabilitą) atskaitos sistemą tiems pokyčiams vertinti. Darbas apima sekančius klausimus:

- faktorių, salygojančių einamuų prieaugiu į aukštį ir skersmenį dinamiką, analizę;
- atskaitos sistemos atvirumo ir pastovumo pagrindinė;
- einamuų prieaugiu rinkinių (failų) sudarymą ir prieaugiu kitimo dėsningumų biologiniu - dendrochronologiniu aspektu tyrimą;
- statistiškai tarpusavyje nepriklausomu normuojančiu rodikliu, tiesiogiai susijusi su absolutiniu prieaugiu, parinkimą ir prieaugiu kitimo vertinimo standarto struktūros pagrindiną;
- standarto preliminarinio skaitmeninio modelio sudarymą augine viršaujančiu medžių einamuų radialinių prieaugiu pokyčiams įvertinti;
- einamojo prieaugio pokyčių vertinimo metodikos paruošimą praktiniam naudojimui;

- medžių skaičiaus kitimo pušynuose, augime viršaujančios medyno dalies medžių aukštio ir skersmens dinamikos modeliavimą (susietai su naujai išryškėjusiais taksaciiniu rodikliu dėsningumais).

#### MOKSLINIS NAUJUMAS

1. Yra išaiškinti nauji taksaciiniu rodikliu - viršaujančių augine medžių vidutinių kulminacinių prieaugiu i aukštį ir skersmenį - dėsningumai.

2. Išaiškinti einamuju prieaugiu i aukštį ir skersmenį reakcijos i pasikeitusias klimatinės salygas dėsningumai.

3. Sudaryta iki šiol miškininkystės ir dendrochronologijos moksluose neturėjusi analogo radialinių prieaugių kitimo dėl tiesioginės ir netiesioginės antropogeninės veiklos itakos aplinkai vertinimo sistema ir jos pagrindu paruoštas preliminarinis skaitmeninis modelis pasikeitimams fiksuoti.

4. Patobulintas G. Chilmi teorinis medžių skaičiaus dinamikos modelis, pritaikant jį praktiniam naudojimui pušynuose.

5. Sudaryti pušies jaunuolynams nauji efektyvesni viršaujančios augime medyno dalies augimo i aukštį ir skersmenį matematiniai modeliai.

#### PAGRINDINIAI GYNIMUI PATEIKTI TEIGINIAI

1. Pušyno viršaujančios augime medyno dalies medžių einamojo vidutinio kulminacino prieaugio i skersmenį satykinio stabilumo išlaikymo antropogeniškai paveiktoje aplinkoje dėsningumas.

2. Einamuju radialinių prieaugių kitimo dėl klimato dinaminės pusiausvyros poslinkio antropogeninės veiklos itakoje invertinimo metodika ir standarto atruktūra.

3. Patobulintas medžių skaičiaus dinamikos matematinis modelis.

4. Nauji viršaujančios medyno dalies medžių augimo i aukštį ir skersmenį matematiniai modeliai pušies jaunuolynams.

#### DARBO METODIKA IR INFORMACIJA

Formuojant ir sprendžiant metodinius bei informacijos rinkimo, tvarkymo ir analizės klausimus, remtasi dendrochronologijos, miško taksacijos, miškininkystės bei matematinės statistikos mokslu pagrįstais dėsningumais.

Pradiniai duomenys surinkti 1985 - 1992 m. laikinuose ir pastoviouose tyrimo bareliuose, išskirtuose 0,6 - 1,0 skalsumo nepažeistuose savaiminės ir kultūrinės kilmės sausuminiu auginviečiu pušynuose. Medynų amžius apėmė 30 - 120m. laikotarpį. Bendras barelių skaičius - 88; apskaitos medžių skaičius prieaugiamas i aukštį ( Zh ) matuoti - 643; o radialiniams prieaugiamas ( Zr ) - 1187; išnatiuta virš 70000 rievių.

Informacija surinkta Varėnos, Marcinkonių, Veisiejų, Prienu, Dubravos, Kauno, Jurbarko, Tauragės urėdiju miškuose. Teršimo itakai išryškinti, Jonavos azoto fabriko veikimo zonoje išskirti 9 laikini bareliai su 167 apskaitos medžiais.

Pagrindiniai medynų kriterijai - sudėties grynumas ir augimvietės tipas. Todėl šiuo požiūriu medynai i apskaitą pateko atsitiktinai. Iha buvo atrenkami 25 augime viršaujantys medžiai. Kiekvienam medžiui 1,3 m aukštyste Preslerio gražtu išgrežtas vienas šerdži kertantis grežinys, kurio kryptis sekaničiam medžiui buvo sistematiskai keičiamas. Radialiniai prieaugiai išmatuoti mikroskopu 0,1mm tikslumu vienodomis hidroskopinėmis salygomis. Matuojant naudoti "reperiniai" taškai. Keliolika medžių su labai ryškiai išsiskiriančiu augimu (dažniausiai dėl gaisrų poveikio) iš informacijos sudėties pašalinti.

Prieaugians i aukštį matuoti buvo sukonstruotas telekopinis stiebas, leidžiantis augančiai pušiai panečiui išmatuoti aukštėlius iki 20 ir daugiau metrų. Matavimo trukmė su perėjimais - iki 10 min. Stiebas parankus tuo, kad nereikalauja matavimo bazės. Vidutinis matavimo tikslumas (naudojant lauko binoklį) - ± 2cm (pateikiama formulė). Menturių žymes, kaip parodė stebėjimai, pušys priekelminėje dalyje išsaugo iki 100 ir daugiau metų žievėje.

Visa pradinė informacija saugoma kompiuterje ir yra atspausdinta.

## PUBLIKACIJOS IR DARBO APIMTYS

Pagrindiniai metodiniai sprendimai ir rezultatai yra paskelbti mokslo darbuose, Vakaruose ir Rytuose vykusiose konferencijose, žurnaluose. Paskelbta 10 darbu.

Visas darbas išdėstytas 4 - se skyriuose, talpina 35 lenteles, 27 brėžinius, 31 matematinę išraišką. Literatūros sąraše yra 152 pavadinimai.

## PROBLE莫斯 ANALIZE IR DARBO TURINYS

Medžių sinamųjų priaugiu dinamika priklauso nuo amžiaus (laiko), medyno sandaros, biologinių rūšies savybių, antropogeninės veiklos ir ekologinių salygų visumos. Iš šia visumą ieina augimvietės kokybė, cenotiniai ryšiai, daugelio kitų veiksniių (Zemės sukimasis, Saulės radiacija, kosminės erdvės bei Saulės ir Ménulio traukos sužadinimai, atmosferos - hidrosferos procesai) formuojamas klimatas (Schweingruber F., 1988; Lovellius N., 1978; Горчаковский П., Шиятов С., 1985; Битвинькас Т., 1974; kt.), o pastaruoju metu prie šių veiksniių prisdėjo ir jau minėti neigiami antropogeninės veiklos padariniai.

Dalį išvardintų veiksniių galima ivertinti tiesiogiai, dalis ju ivertinama ryšyje su lengviau apibendrinanais procesais, o likusi dalis priskiriama "informaciniams triukšmui".

Mūsų tyrimo požiūriu elementariausias, nuo nieko nepriklausantis, bet išreiškiantis augimo proceso kitimo esmę, yra visuotinai pripažintas laikas. Jame pasireiškia augina apibrėžiančiu faktorių poveikio skirtingumas, nes ryšys tarp priaugio ir amžiaus néra tiesialinijinis. Todėl laiko faktorius turi būti augina fiksuojančios sistemos sudėtyje.

Salia medžių rūšies biologinių savybių augimo pobūdį didele dalimi lemia paties medyno sandara ir pagrindinai svarbiausias jos elementas - pirminis tankis, reglamentuojantis priaugio absolutinį dydį laiko eigoje (Иванов Г., 1973; Drew T., Frewelling J., 1977, 1983; Резин Г., 1980; Кузников В., 1980; Тебера А., 1983; Каирокштис Л.,

<sup>7</sup>Подвалькис А., Ионикас В., Баркаускас А., 1983; Констабличюс И., Кулешис А., 1985; Кръстанов К., 1987; kt.), ir todėl yra fiksuotinės priaugiu dinamikos tyrimuose.

Skirtinga medynų augimo eiga salygoja ir augimo tipai (Давидов М., 1971, 1980, Никитин А., 1983, Кулешис А., 1987, 1989), egzistuojantys visoms medžių rūšims ir skirtinguose geografiniuose rajonuose. Ju atsiradimo priežastys yra genetinio bei antropogeninio pobūdžio ir susiję su dirvožemio savybėmis. Nustatėme, kad Lietuvos pušynuose egzistuoja pagrinde du augimo į aukštį tipai - pagreitintas (ji turi apie 17% pušynu) ir normalus (jam tenka apie 83% medynų). Priimant dėmesin tai, kad išankstinis augimo tipu nustatymas neapibrėžtas (o jo apibrėžimas apribotu atskaitos atviruma), didžiausia medynų dalis turi normalų augimą, o viršaujančiu augime medžių augimo charakteris toje pat augimvietėje svyruoja 20-30% ribose (Розанов М., Несторов В., Кирченко Г., 1975) ir augimo tipai klasifikavimo požiūriu turi pereinamumą, apibendrintoje priaugiu kitino vertinimo sistemoje augimo tipu itaka priaugiamas tikslinė "priskirti" informaciniam triukšmui", atispindinčiam ivertintose vidurkiu standartinėse kliaudose.

Augimo pobūdis priklauso nuo rūšies biologinių savybių, kuriuos cenotiniai ryšiai, klimato fluktuacijomis ir ūkinėmis priemonėmis bei kita antropogenine veikla yra veikiamos visa medžių amžiu. Biogeocenozėms, o tuo pačiu ir augimo homogeniškumui charakterizuoti siūlomos klasifikacinių sistemų su dideliu ūgio srityje veikiančiu faktorių diferenciacijos laipsniu (klimatinė zona, subzona, augimvietė, medyno kilmė, sudėtis, amžius, struktūra, pradinis tankis, antropogeninis poveikis ir kt.). Ijungti i vertinimo sistemos sudėti visus klasifikacinius elementus dėl daugelio galimų ju tarpusavio ryšių netikslinė. Todėl tokis detalus klasifikavimas išliko tik siūlymu lygyje. Reikia remties bendrais medynų sandara ir biologinius-ekologinius ryšius charakterizuojančiais išvestiniais rodiliais, kurie galimai tiksliau apibrėžtu priaugiu dinamiką ir atskaitos sistemą.

Ūkinės veiklos įtaka augimui pasireiškia medynų kilnėje (Вуевский Д., 1940; Рубцов В., 1984; Захаров В., 1984; Тимофеев В., 1985; Подвалькис А., Ионикас В., 1985; ir kt.). Bet skelbiami tyrimo rezultatai prieštaringi. Svarbu tai,

kad pastebėtas didesnis kultūrų našumas yra pasiekiamas tankio saskaita, o viršaujančių medžių augimas yra panašus į savaiminės kilmės nedynų augimą.

Ugdymo kirtimo itaka jaunuolynams pasireiškia šviesinio prieaugio atsiradimui ir mechaniniu taksaciniu rodikliu padidinimu ( Каїрюкштис Л., Водвалькис А., Ионикас Ю., Баркаускас А., 1980; 1983; 1985; Лиепа И., 1980; kt. ). Ugdymas mažiausiai paveikia viršaujančius medžius ( Каїрюкштис Л., 1988; Шветков В., 1978). Sie medžiai, panaudodami genetinių potencialą, dažnai pilnai išnaudoja aplinką ir asimiliacinių aparato ir ryškiai didinti prieaugį neberejėgia ( Фрэй Т., 1978 ), t.y. sistemos stabilumo savireguliacijos mechanizmas lieka nesužadintas ( Буш К., Иевинь И., 1984 ). Tačiau yra ir priešingų duomenų ( Лобжанидзе Е., 1975 ).

Intensyviuose ugdymo kirtimuose viršaujančius medžius teršimas veikia stipriau ( Ионикас Ю., Водвалькис А., 1986 ). Tai šiuo požiūriu pabrėžia viršaujančių medžių informatyvumą.

Viršaujantys nedžiai labai retai pereina į žemesnę vytyros klasę ( Каїрюкштис Л., 1988; Антанайтис В., Тебера А., Шепетене Я., 1988, kt.). Todėl prieaugių kitimo atskaitos sistemos pagrindui jie tinka geriausiai.

Didžiausius prieaugių svyravimus iššaukia klimatas. Medžių prieaugis labiausiai sumažėja didžiausių neigiamų klimatinės fluktuacijų metu ( Кабуцис И., Никодемус О., Раман К., 1986; Schweingruber F., 1988; Армодайтис К., Вайчис М., 1986; Пастернак П., Ворон В., 1988; kt.). Todėl klimatinės fluktuacijos prieaugių kitimo vertinimo standarte fiksuočių yra būtina.

Sprendžiamos problemas požiūriu būtina atkreipti dėmesį ir į kitus literatūroje pateikiamus teiginius: ryškiausiai klimatinės fluktuacijos atspindis viršaujantys augime nedžiai ( Bohuslav V., 1988; Вузькин А., Дашковская И., Хлебопрос П., 1986; Гортиński Г., 1986 ); prieaugių kitimo vertinimui būtina turėti atskaitos sistemą ( Нильсон А., Кивисте А., 1988 ; Скулькин В., 1986; kt. ); turimos dendrochronologinės eilutės prieaugio pokyčio vertinimo problemas neišsprendžia ( Grigaliūnas J., 1992, 1993 ); ryšys tarp rievių ir klimatinės faktorių panašiose augimvietėse gali būti skirtinas, o tai apsunkina skalių prolongavimą ( Schweingruber F., 1988 ); i Jungiant pradinio amžiaus rievių informaciją į prieaugio

<sup>9</sup> indeksų sudėti, eilutes dažnai galima iškreipti ( Grigaliūnas J., 1993 ); atskiri klimatiniai ingredientai su radialiniu prieaugiu turi tamprą ryšį ( Юкнис Р., 1980; Веникус А., 1986; Карманова И., 1978; Каїрюкштис Л., Водвалькис А., 1988 ), tačiau, salygoms keičiantis, šis ryšys kinta nuo tiesinės iki kvadratinės formos, o prie aukštų temperatūru išreiškiamas laipsninė funkciona:  $y=ax^b$  ( Карманова И., 1976 ) ir todėl prieaugių dinamikos standarte klimatinės salygios tikslingo fiksuočių integruotoje formoje.

Tai, kad ūkiniu priemonių itaka augime viršaujantiems medžiams yra silpna ( Лакида П., 1985; Burhard H., 1977; Pollanschutz J., 1974; Petrin P., 1987; Turner B., Bernarz R., Dargavel J., 1977; Матузанис А., Тауриньш Я., 1972; Grut M., 1977; Haggling B., 1975, kt.), ju prieaugius tikslingo panaudoti atskaitos sistemoje augimo pokyčiams fiksuoći.

A klasės geriausio išsivystymo medžių ( toliau vadinančių viršaujančiais ) prieaugiai parodė, kad kiekvienos augimo į aukštį bei skersmeni kreivės padėti kreivių šeimoje gerai charakterizuojasi vidutiniai prieaugiai (  $kh$ ,  $kd$  ), skaičiuoti pirmosios einamųjų prieaugių kulminacijos amžiuje (  $A_{hmax}$ ,  $A_{dmax}$  ):

$$kh=H_{hmax}/A_{hmax}; \quad kd=D_{dmax}^{1.5}/A_{dmax}, \quad (1).$$

Šios formulės:  $H_{hmax}, D_{dmax}^{1.5}$  - atitinkamai aukštis ( m ) ir skersmuo ( cm ) šiuo rodikliu didžiausių einamųjų prieaugių momentu.

Vidutiniai kulminaciniai prieaugiai atspindi kiekvieno medyno formavomosi periodą ir charakterizuojasi tolimesni viršaujančių medžių augimo pobūdži. Tai, pvz, patvirtina 1 lentelės duomenys.

Viršaujančių medžių augimo į aukštį ir skersmeni kreivės, sudarytos natūroje išmatuotų prieaugių pagrindu ir nediferencijuojant augimviečių tipais bei kilmės požiūriu, iki 50 - 60 metų amžiaus susikerta gana retai ( vidutiniškai 17% dažniu ) ir yra minėtu augimo tipu ir atsitiktinumu padarinys. 20 - 25 metų amžiaus ribose ryšys tarp apibendrintų kreivių išsidėstymo eiliškumo ir rodiklių  $kh$  ir  $kd$  charakterizuojamas koreliacijos koeficientais:  $r_{kh} =$

Table 1

Augine viršaujančiu medžių kulminacinio priešaugio iš skersmeni ( $K_d$ ) ryšys su skersmeniu ( $d$ ) brukiniuose pušynuose atitinkamai  
antrias grupiu ribose.  
Relation between the diameter ( $d$ ) and the average increment  
 $(K_d)$  calculated at the current radial increment culmination  
moment by the age groups (A) for dominant trees in the vaccinium  
forest types of the pine stands.

Am- žius, (A)	ka intervalas, cm/m. Intervals of ka ,cm/year	Vidut. (da), cm Average DBH, cm	Koreliac. skersmio koef.(r). Correla- tion coefficient (r).	tms. Error of r, tms.	Medžių sk(N), kintam. vnt. (Vd), X Number of trees	Skersm. sk(N), kintam. vnt. (Vd), X Number of trees	
					r/mz. vnt. (Vd), X Number of trees		
10	0,118 - 0,705	3,3	0,496	0,054	8,2	191	42,7
20	0,118 - 0,705	9,8	0,766	0,030	25,5	191	23,3
30	0,118 - 0,705	14,2	0,740	0,037	20,0	150	22,1
40	0,118 - 0,518	17,5	0,675	0,048	14,1	126	21,7
50	0,118 - 0,506	20,7	0,856	0,055	11,9	104	21,2
60	0,118 - 0,486	23,8	0,647	0,062	10,4	88	21,2

$0,963 \pm 0,009$ , r<sub>kd</sub> =  $0,897 \pm 0,025$ . Ryšys tarp k<sub>d</sub> ir apibendrintu kreiviu išsidėstymo 60 - 70 m. ribose taip pat glaudus :  $r=0,827 \pm 0,028$ . Tai svarbus požymis, rodantis kuminacinių prieaugių tinkamumą, sudarant einamųjų prieaugių kitimo įvertinimo sistemą.

Rodiklių kai ir ka reikšmes per ju sudėtinės dalis apibrėžia biologinės rūšies savybės, medynų sandara bei ekologinės salygos.

Medynų sandaros įtaka pasireiškia tankio skirtingumu, nes vidutinis aukštis ar skersmuo kinta adekvāčiai tankio kitimui. Tyrimai eglės biofiziniame stacionare parodė, kad vienodose augimvietės sąlygose tankio pokytis veikia tik viena rodiklio ka komponentą - vidutinį viršaujančiu nedžių skersmenį, o kulminacinis amžius išlieka nepakitęs (2 lentelė).

Akivaizdu, kad rodiklis ka atspindi daugelyje standartų ingredientų esantį medyno tankį. Tuo tarpu teršimas keičia abi rodiklių kai ir ka sudėties dalis: kulminacinius aukštis, skersmenį ir amžių. Kulminaciniams prieauginiui į aukštį (  $k_n$  ), pavyzdžiui 3 lentelės duomenys.

Nors teršimas ir veikia jauhame amžiuje nustatomus kuminacinių prieauginių ingredientus (3 lentelė), ir rodiklis

2 lentelė  
Table 2  
Vidutinio viršaujančių medžių kulinacinių prieaugio  
išskersmenių ( $K_m$ ) priklausomybė nuo medyno tankio (eglės  
biofizinis stacionaras)  
Relation of the average culmination radial increment ( $K_m$ )  
of dominant trees on stand density (biophysical stationary  
sampling plot of spruce stand)

Tankis,vnt/ha Density ,N/ha	820	1600	3000	6000	12000	25000	100000
Vidutinis skersmuo, (d), cm. Average diameter (d), cm	28,0	23,4	21,5	21,3	18,2	17,3	14,5
Vidutinis kulmė- naciamžius ( $D_{\text{max}}$ ). Average age of the radial increment culmination ( $A_{\text{max}}$ ), year	12,9	12,9	11,6	11,3	10,8	12,4	13,4
Vidut.skersmuo kul- minac.amž.,( $D_{\text{max}}$ ), cm.Average DBH ( $D_{\text{max}}$ ) at the age of the radial incre- ment culmination	5,05	5,38	3,64	3,80	2,78	2,81	2,21
Vidutiniis $K_s$ ,cm/m. Average $K_s$ ,cm/year	0,392	0,417	0,314	0,336	0,256	0,222	0,164
Stebėjimų skaičius Tree number	9	9	7	6	8	7	7

3 lentelė  
Table 3

)\* - vyresnių medynų taksaciniai rodikliai priłyginti 100%.

kn išlieka santykinai stabilus, bet šis stabilumas nėra salyga atskaitos sistemoje, nes nepažeistuose medynuose rodiklis kn (kaip ir ka) jau savaime normuoja kiekvieno atskiro medyno augimo pobūdį. Pažeistame medyne pakitus augimui, tokios pat kaip standarte, kn (ka) grupės medynai jau turės kitą prieaugį. Ta patvirtinta hipotezė ir davė teisę tokiam pažeistų ir nepažeistų medynų augimo sugretinimui kn rodikliu požiūriu.

Akivaizdu, kad Ahmax ir Hshmax kinta gana adekvacių ir dėl to dydis kn išlieka santykinai stabilus. Siu rodikliu kitimas priklauso nuo teršimo atstumo (teršimas pradžioje augina gali skatinti, o vėliau - žlugdyti).

Nors teršimas ir veikia jauname amžiuje nustatomus kuminacinių prieaugių ingredientus (3 lentelė) ir rodiklis kn išlieka santykinai stabilus, bet šis stabilumas nėra būtina salyga atskaitos sistemoje, nes nepažeistuose medynuose rodiklis kn (kaip ir ka) jau savaime normuoja kiekvieno atskiro medyno augimo pobūdį. Pakitus pažeistame medyne augimui, tokios pat, kaip standarte, kn(ka) grupės medynai turės jau kitą prieaugį. Ta patvirtinta hipotezė ir davė teisę tokiam pažeistų ir nepažeistų medynų augimo sugretinimui kn rodikliu požiūriu.

Todėl retrospektivinės analizės, atliktos iki ryškesnio foninio teršimo pasiodymo, rezultate sudarytos normuotos prieaugių eilutės, i kurių normuojančiu rodikliu sudėti įeina ir vidutinis kulminacinis prieaugis, išlieka nuolatinai stabiliu atskaitos pagrindu prieaugių dinaminio poslinkio vertinimo sistemoje ir, kaip parodė analizė, nereikalauja sistemos sudetyje turėti auginvietai ar miško tipo charakteristikai.

Teršimas išsaukia priverstinai ankstyva senėjimo procesą (Mauryrin A., 1988; Makhc P., 1990). Todėl eilės nepažeistų medynų augimo i aukštį ir skersmenį sugretinimas su panašius kn ir ka dydžius turinčiu oro teršalaus pažeistu medynu augimu parodė aišku augimų skirtumą: galutiniame rezultate visi pažeisti medynai augo silpniau, nes jie, keisdami prieaugio kulminacijos amžių ir skersmenį, kartu iškreipė ir natūralią augimo eiga. Medynai, augantys arčiau teršimo šaltinio, pažeidžiami greičiau ir stipriau, o esatus toliau - pradžioje gali turėti ilgesni trėšino poveiki.

Pavyzdžiu, 7 km atstumu nuo teršimo šaltinio augė pušynai apie dešimtnetį naudojos papildomu trėšimu, o vėliau ju auginas pradėjo silpneti (4 lentelė).

4 lentelė

Table 4

Viršaujančiu pušies nedžiu augimo i skersmenį skirtumuno palyginimas panašius kulminacinius prieaugius i skersmenį (ka) turinčiuose oro teršalaus paveiktuose ir nepaveiktuose medynuose (skersmenys neišlyginti; fragmentas). Atstumas iki teršimo

Šaltinio (Jonavos „Azoitas“) - 7 km.  
A differences of diameters between dominant pine trees in a damaged by air pollution stands (II), and in non-polluted stands. The culmination increments (ka) of all stands are similar. The growth is not smoothed. A distance between the nitrogen factory and s.p. II is 7 km.

Medynų cha- rakteristi- ka. The cha- racterist. of stands	Nr. Sample Plot No.	Medžių cm/m. skai- čius vnt.	Medžių cm year --- Number of trees	Viršaujančiu nedžiu vidut skersmenys (d) cm su žieve(skaltiklyje) ir skirtumai (vardiklyje) atitinkamose amžiuse(A)						
				10	15	20	25	30	35	
Paveiktas teršinė pradžio damaggio - II stait.	IL	0,445	15	4,98	10,66	14,81	17,87	19,27	20,17	*
Nepaveikti Non-damaged stands	9	0,412	15	4,86	8,50	10,84	12,52	14,68	16,88	-0,12 -2,18 -4,17 -5,15 -4,59 -3,21
	1736	0,420	13	2,72	7,83	12,04	14,85	17,56	20,10	-2,26 -2,73 -2,77 -2,82 -1,71 -0,07
	2030	0,410	6	4,89	10,66	14,70	17,74	20,18	22,18	-0,09 0,0 -0,11 +0,07 +0,92 +1,99
	365	0,432	13	6,01	10,34	12,31	13,72			+1,15 -0,32 -2,50 -3,95
	366	0,443	8	6,62	10,85	12,57	14,26			+1,64 +0,19 -2,24 -3,41
	367	0,442	10	5,80	10,52	12,18	13,85			+0,62 -0,14 -2,65 -4,02

Pažeistų nedžiu auginas ypatingai susilpnėja po stresinių (neigiamu) temperatūrų.

Analizė parodė, kad kulminacinių prieaugių (kn,ka) normuojančiais rodikliais naudotini dėl šių savybių:

- kn ir ka yra išvestiniai rodikliai ir atspindi medynų sandarą;
- ilga laiką charakterizuojai auginai i skersmenį bei aukštį;

## I4

- yra santykinai stabilūs ir išlieka atviros atskaitos sistemos pagrindu;
- kiekvienam medžiui lengvai nustatomi retrospeptyviniai matavimais;
- medžiai medyne ka grupėmis pasiskirsto analogiškai skersmenims (sudarius specialų normatyvą, galima prognozuoti medyno vystymosi pobūdį).

Prieaugių kitimo įvertinimo standartą galima sudaryti einamiesiems prieaugiams i aukštį ( $Z_h$ ) arba radiusą ( $Z_r$ ). Informatyvesnės charakteristikas parodė radialiniai prieaugiai. Tai ir nulémé standarto pasirinkimą.

Išaiškinti tokie prieaugių ir jų kulminacinių rodiklių kintamumai:  $V_{sh}=\pm 27,5\%$ ,  $V_{kh}=\pm 12\%$ ;  $V_{sr}=\pm 34,5\%$ ,  $V_{kd}=\pm 23\%$ . Dendrochronologinių indeksų kintamumas kalendorinių metų ribose radialiniams prieaugiams yra mažesnis:  $V_{sh}=\pm 26,7\%$ ,  $V_{sr}=\pm 17,3\%$ ; prieaugių i aukštį indeksų amplitudė fazijų ribose yra mažesnė;  $I_{shmin}=89,4\%$ ,  $I_{shmax}=107,8\%$ ;  $I_{srmin}=83,2\%$ ,  $I_{srmax}=115\%$ . Mažesnis  $I_{sr}$  kintamumas ir didesnė amplitudė kalendorinių metų ribose rodo, kad, keičiantis klimatinėms salygomis, medžiai augino i radiusą pobūdį keičia sutartinių ir tuo parodo juo jautrumą.

Tu pačiu objektu medžių informacijos pagrindu sudarytu prieaugio i aukštį ir skersmenį dendrochronologinių indeksų analitinis ir grafinis sugretinimai parodė, jog kalendorinių metų atžvilgiu radialinių prieaugių indeksų kreivė eina pirma  $I_{sh}$  kreivės ir tuo parodo staigsnį  $Z_r$  atsaką i pasikeitusias aplinkos salygas.

Radialinių prieaugių indeksų kitimo krypčių ( $IT_{sr}$ ) sutapimas taip pat yra didesnis. Ir jei prieaugiams i aukštį kalendorinių metų serijoje  $IT_{sh}$  svyruoja 87 - 17% ribose ir visoje laiko indeksų eilutėje (1800 - 1882m.) nėra nei vienos "taškinės" reikšmės (atvejai, kai palankiose salygose visi indeksai artėja prie 100%, o nepalankiose - prie 0% ; Schweingruber F., 1989), tai  $I_{sr}$  eilutėse tokią reikšmę yra net 15. Tai ir rodo ryškesnę  $Z_r$  reakciją i pasikeitusias klimatinės salygas.

Atskiru medžiu  $Z_r$  ir  $Z_h$  ir juų indeksų dinamikos sugretinimas su sudarytu dendrochronologinių skalių indeksų dinamika išryškino atvejus, kai šiu prieaugių dinamika jauname amžiuje yra asinchroniška apibendrintų skalių indeksų dinamikai. Tai atvejai, kai medžio (medyno) augimo pradžia

## I5

nesutampa su klimatiniu fluktuacijų faze. Tada augino synchronizavimasis prasideda tik po 15 - 18 metų. Todėl, sudarant ar prolonguojant dendrochronologines skales, šio amžiaus prieaugių informacija nenaudotina. Tai kartu apibrėžia ir pradinį amžių standartą.

Analizės metu buvo išaiškintas prieaugių i aukštį sumažėjimo dėsningumas. Pasiekės kulminaciją, prieaugis staigiai "krenta", nors klimatiniu salygu fluktuacijos fazė yra teigiama ir didėja. Nustatytos prieaugio kritimo trukmės ir gylio ryšio su kai rodikliu matmeninės išraiškos.

Kompleksiniai temperatūros ir kritulių kiekio rodikliai (Стравинскене B., 1981) rodo Lietuvos mastu vienodą klimatinio fono dinamiką. Todėl prieaugių informaciją galima apjungti visos teritorijos apimtyje. Ta patvirtino ir mūsų informacijos pagrindu skaičiuoti prieaugių kitimo synchronizacijos rodikliai.

Sudarant dendrochronologines indeksų eilutes, būtina turėti pagrįstą slystamajį vidurkį amžiaus įtakai eliminuoti, kuris geriausiai išryškintu dažniausiai pasitaikančius prieaugių periodus ir mažiausiai iškreiptų jų absolutines reikšmes. Nukrypimų tarp pirminių ir indeksuotų prieaugių kvadratų suma parodė, kad tam atitinka 11 metų periodas, kuris ir buvo panaudotas radialinių prieaugių indeksavimui, sudarant vieno iš standarto normuojančių rodiklių - dendrochronologinių indeksų - grupes. Be to, šis periodas artimiausiai siejasi su Saulės aktyvumo cikliškumu, nedaug iškreipia absolutinių prieaugių reikšmes ir mažiausiai reaguoja į ūkines priemones.

Trumpuji ciklų prieaugių fluktuacijas salygoja ilgųjų ciklų svyravimai. Fazėms sutapus, teigiami arba neigiami trumpuji ciklų indeksai bus didesni. Todėl siekta prieaugių kitimo įvertinimo standartui panaudoti galimai platesnio laikotarpio informaciją (buvo panaudoti 1882-1958 metų laikotarpyje atsiradusiu medynu 1882-1892 m. laikotarpio einamieji prieaugiai).

Statistiniam standarto rodiklių vertinimui ir naudojimui, (chi-kvadrato) kriterijaus pagalba buvo ištirtas amžiaus (A), radialinių prieugų indeksų ( $I_{sr}$ ) ir vidutinių einamųjų kulminacinių prieugų i skersmenį (kd)

grupėse formuojamų absolutinių radialinių prieaugių ( $Z_r$ ) pasiskirstymo normalumas. 30-ties stebėjimų apimtyje ( $Z_r$ ) pasiskirstymas priartėja prie normalinio.

Aukščiau padarytų sprendimų bazėje (standarto funkcijos pagrindu naudoti radialinius prieaugius; normuojančiu rodikliu sudėtyje naudoti tarpusavyje nesusietus rodiklius: amžiui, vidutiniui einamajai kulminacinėi prieaugi i skersmenį ir radialinių prieaugių indeksus (normuojančius rodikliai stadarste turi užtikrinti atskaitos sistemos pastovumą ir atvirumą); radialinių prieaugių duomenis rinkti teršimo nepakenktuose sausuminiu augimviečių pušynuose, apimant galimai platesni laikotarpi; minimaliausią amžių standarte priimi 15 metų; atskaitos sistemos pagrindą turi sudaryti viršaujantys augime medžiai (25 vnt./ha); prieaugių flutuacijas standartizuoti 11 metų slystamuoju vidurkiu; klimato fluktuacijas išreikštį bendrame pavidaile, neskaidant į komponentinius ryšius; prieaugių informaciją sisteminti individualių medžių pagrindu) kompiuterio pagalba radialiniai prieaugiai buvo susisteminti A, k<sub>d</sub> ir I<sub>rr</sub> grupėmis (grupių intervalai; A=1m., k<sub>d</sub>=0,1cm/m., I<sub>rr</sub>=4%). Atitinkamoms grupėms priskirtų radialinių prieaugių vidurkiu išsidėstymas (1 pav.) yra visiškai dėsningas; amžiui didėjant, prieaugis mažėja; klimatinėms sąlygoms gerėjant, prieaugis didėja. Toks dėsningumas egzistuoja ir likusioms ka (0,2;0,3) grupėms.

2 pav. parodytas prieaugių vidurkiu išsidėstymas ryšyje su vidutiniu kulminaciniu prieaugių dydžiais. Išsidėstymas dėsningas: tame pačiame amžiuje ir prieaugių indeksų grupėse kulminaciniams prieaugiui didėjant, einamasis prieaugis i radiusą didėja. Radialinių prieaugių vidurkiai dėsningai išsidėsto ir kituose amžiuose.

Funkcijos  $Z_r=f(A; k_d=\text{const.}, I_{rr}=\text{const.})$  reikšmės taip pat išsidėsto dėsningai.

Analitiškai išlyginus prieaugių kreives normuojančiu rodikliu atžvilgiu ( $Z_r=f(I_{rr}, A=\text{const.}, k_d=\text{const.}), Z_r=f(A, k_d=\text{const.}, I_{rr}=\text{const.})$ ), iš visu 15 kreiviu tik trys kreivės dėl mažoko informacijos kieko, kraštinėse I<sub>rr</sub> grupėse dalinai iškreipė dėsningą bendrą visos ju šeimos išsidėstymo tvarką. Todėl gauti funkcijos  $Z_r=f(A, k_d, I_{rr})$  skaitmeniniai dydžiai leidžia teigti, kad radialinių prieaugių kitimo dėl klimato dinaminės pusiausvyros polinkio

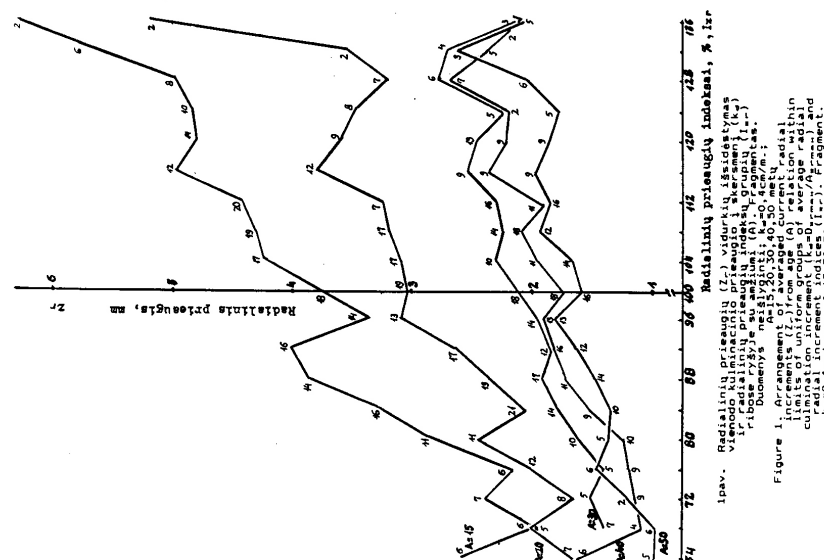
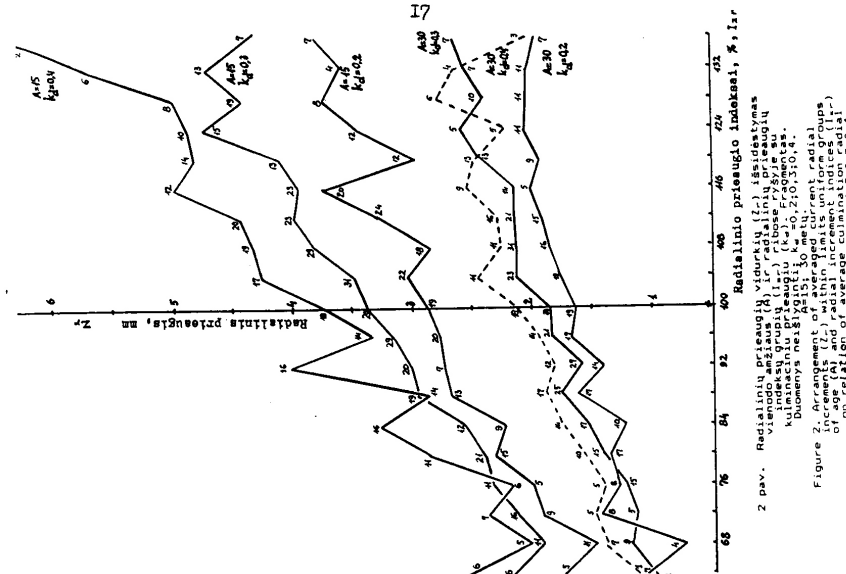


Figure 2. Arrangement of averaged current radial increments (A) and radial current cumulative increment (I<sub>rr</sub>) of average culmination radial increment (k<sub>d</sub>) in radial profile fragments (17).

Figure 1. Arrangement of radial increments (A) and cumulative increments (I<sub>rr</sub>) within radial profile fragments (17).

ivertinimo standartas teoriniu požiūriu yra objektyvus ir jis struktūra priimtina praktiniam naudojimui. Standarto skaimeninis preliminarinis modelis pateiktas 5 lentelėje.

Kiekvienam parinktam A bei  $k_d$  ir  $I_{sr}$  grupės radialinių prieaugių vidurkiai yra skaičiuoti statistiniai rodikliai, išvertintos vidurkių klaidos ir rasti pasikliautiniai itevelai. Cia iliustravimo tikslu pažymėsime, kad visiems paimitiems amžiams ir  $k_d$  grupėms, atsižvelgiant į atrankos dydį grupėje, vidutinės pasikliautinių intervalų reikšmės visai eilutei, kai  $I_{sr}=64\%$  yra  $S_y'=0,211$  mm, kai  $I_{sr}=100\%$ , tai  $S_y'=0,198$  mm, o kai  $I_{sr}=136\%$ , tai  $S_y'=0,207$  mm.

Kiekvienam radialinių prieaugių vidurkiui turimi statistiniai rodikliai sudaro galimybę šiuos standartinius vidurkius grupių ribose sugretinti su tyrimo objektuose išmatuotais prieaugliais ir spresti apie prieaugių pasikeitimus. Darbe yra pateiktas standarto ir objekty duomenims sugretinti algoritmas.

Papildžius standartui ruošti naudota informacija nauju objektu duomenimis, standarte pateikti prieaugiu vidurkiai gali kiek tikslėti.

Kulminaciniai prieaugiai į aukštį ir skersmenį buvo panaudoti augime viršaujančios medyno dalies medžių augimui modeliuoti. Sudaryti augimo į aukštį ir skersmenį matematiniai modeliai, o modifikuojant Chilmi (Хильми Г., 1955) formulę - pušynų retinimosi modelis.

Bazinė medynų retinimosi formulė

$$= \omega(t - t_0)$$

$$N_t = \bar{N} ( N_0 / \bar{N} )^{-\alpha} \quad , \quad (2)$$

buvo modifikuota ir įgijo tokia išraiška:

$$= \omega_k(t - A_m)$$

$$N_t = \bar{N} ( N_A / \bar{N} )^{-\alpha} , \quad (3)$$

Siose formulėse:  $N_t$  - medyno tankis momentui ( $t$ );  $\bar{N}$  - ribinis tankis ploto vienete;  $N_0$  - pradinis medyno tankis ploto vienete;  $N_A$  - tankis tyrimo momentu ploto vienete;  $e$  - natūrinių logaritmu pagrindas;  $\alpha$  ir  $\beta_k$  - atitinkamai pastovus ir dinaminis retinimosi koeficientai;  $t_0$  - pradinis amžius;  $A_m$  - amžius tyrimo momentu. Dinaminis retinimosi koeficietas ( $\beta_k$ ) išreikšiamas formulė:

$$f_k = \alpha \exp[a_1 A_m + a_2 A_{m+1}^2 + a_3 A_m^3] \quad (4)$$

Table 5

Lietuvos pušynų augimo viršūnųjų medžių radialinių prieaugiuų kitimo ivertinimo standartas, pagrįstas radialinių prieaugiuų ( $Z$ ) ir radialiausiomis nuo amžiaus ( $A_{rad}$ ) standartinėmis kūlminacijomis prieaugiuų stremenimis ( $K_A$ ). Standard of radial increments of Lithuanian Pine stands dominant tries to assess or growth changes by changes of environmental conditions. Standard based on relation of current radial increment of current radial increment ( $Z_A$ ) and radial increment indices ( $K_A$ ).

Ametis	L <sub>4</sub> , cm/year	Radialinių prienų indeksai, (I <sub>4</sub> ), %			Radial increment indices (I <sub>4r</sub> ), %															
		Radialinių prienų indeksai, (I <sub>4</sub> ), %			Radial increment indices (I <sub>4r</sub> ), %															
		Radialinių prienų indeksai, (I <sub>4</sub> ), %/year	Radial increment (Z <sub>4</sub> ), mm/year	Radial increment (Z <sub>4r</sub> ), mm/year	Radialinių prienų indeksai, (I <sub>4</sub> ), %/year	Radial increment (Z <sub>4r</sub> ), mm/year	Radial increment (Z <sub>4r</sub> ), mm/year													
A	84	0,2	1,68	1,81	2,19	2,32	2,44	2,57	2,70	2,82	2,90	3,08	3,20	3,33	3,46	3,59	3,72	3,89	4,00	
B	84	0,4	1,98	2,16	2,33	2,48	2,65	2,83	2,97	3,03	3,10	3,23	3,34	3,42	3,53	3,63	3,74	3,84	4,40	
C	84	0,2	1,33	1,44	1,54	1,65	1,75	1,87	2,06	2,17	2,27	2,37	2,49	2,68	2,88	3,01	3,12	3,23	-	
D	84	0,4	1,68	1,78	1,91	2,05	2,18	2,31	2,47	2,61	2,76	2,91	3,08	3,24	3,40	3,57	3,74	3,91	-	
E	15	0,2	0,6	0,6	0,7	0,8	0,9	1,0	1,1	1,2	1,3	1,4	1,5	1,6	1,7	1,8	1,9	2,0	-	
F	20	0,2	0,33	0,33	0,34	0,35	0,36	0,37	0,38	0,39	0,40	0,41	0,42	0,43	0,44	0,45	0,46	0,47	0,48	-
G	25	0,2	0,18	0,19	0,20	0,21	0,22	0,23	0,24	0,25	0,26	0,27	0,28	0,29	0,30	0,31	0,32	0,33	0,34	-
H	30	0,2	0,15	0,15	0,16	0,17	0,18	0,19	0,20	0,21	0,22	0,23	0,24	0,25	0,26	0,27	0,28	0,29	0,30	-
I	35	0,2	0,09	0,10	0,11	0,12	0,13	0,14	0,15	0,16	0,17	0,18	0,19	0,20	0,21	0,22	0,23	0,24	0,25	-
J	40	0,2	0,05	0,06	0,07	0,08	0,09	0,10	0,11	0,12	0,13	0,14	0,15	0,16	0,17	0,18	0,19	0,20	0,21	-
K	45	0,2	0,03	0,03	0,04	0,05	0,06	0,07	0,08	0,09	0,10	0,11	0,12	0,13	0,14	0,15	0,16	0,17	0,18	-
L	50	0,2	0,02	0,02	0,03	0,04	0,05	0,06	0,07	0,08	0,09	0,10	0,11	0,12	0,13	0,14	0,15	0,16	0,17	-

Aproksimavimo tikslumas  $\eta=0,9995$  (aproksimuoti augimo eigos lentelių duomenys). Parametrai Lietuvos pušynams:  
 $a_0=0,0352957; a_1=-0,00559082; a_2=-0,00005875; a_3=0,00000177$ .

Ribinis tankis susietas su kulminaciniu prieaugiu ( $k_d$ ):

$$\bar{N}=607,1875-1038,699463k_d+830,559814k_d^2 \quad (5)$$

$$\eta=0,541.$$

Formulės ypatumai ir pranašumai: medžių skaičių leidžia prognozuoti kiekvienam medynui atskirai; nereikalauja dažnai neapibrėžiamio pirminio tankio; nereikalauja (dažnai kintančios) bonitetinės klasės; nejungia kitų prognozuojamų rodiklių (skersmens, aukščio, kt.); prognozavimo tikslumo nesieja su prognozės periodo ilgiu. Visa tai duoda priimtiną tankio  $\pm 12\%$  prognozės tikslumą (bazinės formulės tikslumas -  $\pm 30\%$  ).

Viršaujančios medynų dalies augimo i aukštį modelis yra išreikštasis formule:

$$H_A=10k_n h_b t_h[aA][1,3-1,3/(1+A)^b] \quad (6).$$

Joje:  $H_A$  - aukštis (m) amžiuje (A);  $k_n$  - kulminacinis prieaugis i aukštį (m/m.);  $t_h$  - hiperbolinis tangentes;  $h_b$  - aukštis baziniame amžiuje ( 100 -te metu ); A - amžius, metai; a,b - parametrai.

Funkcija atitinka visus augimo funkcijoms keliamus reikalavimus; prasideda koordinatių susikirtime, yra griežtai auganti, asymptotiskai artėja prie abscisės paralelės, turi vieną persilenkimo tašką, pirmoji išvestinė prasideda koordinatių susikirtime, prieaugio kreivė abiejose maksimumo pusėse turi po vieną lūžio tašką.

Modelio parametrai skaičiuoti normalaus ir pagreitinto augimo tipams. Naudoti natūroje pamečiui išmatuoti aukštai.

Parametrai (a,b) formule yra susieti su rodikliu  $k_n$  atskiru bazinių kreivių apimtyje ir išreikštį bendra lygtimi visai aukštų kreivių šeimai. Tokie skaičiavimai padaryti ir su ryšio etalonu - Mičerlichio funkcija. Nukrypimų kvadratų sumas atskiroms kreivėms kiek mažesnes duoda Mičerlichio funkcija, tačiau kreivių šeimos atžvilgiu tikslesnius aproksimavimo rezultatus parodė (6) formulė, nes a ir b parametru sklaida, lyginant su Mičerlichio funkcijos parametrais (m,k), yra mažesnė.

Mičerlichio funkcijos parametrams skaičiuoti reikia trijų aukštų matavimų atskiruose amžiuose. Jaunuolynuose tie matavimai amžiaus atžvilgiu galimi tik greta, o tai gali iškreipti augimo pobūdį. To galima išvengti, naudojant apibendrintus 6 funkcijos parametrus. Funkcija naudotina dinaminiam bonitavimui, o susiejus ja su vidutiniu aukščiu - ir šio ridiklio prognozavimui.

Analogišką tikslumo interpretaciją turi ir augime viršaujančios pušyno dalies medžių augimo i skersmenį matematinis modelis:

$$D_A = 10 k_d d_b t_h[aA][3,0 - 3,0 / (1+A)^b], \quad (7).$$

Modelyje:  $d_b$  - skersmuo baziniame amžiuje cm;  $k_d$  - vidutinis kulminacinis prieaugis i skersmenį, cm/m.

Išaiškinus viršaujančios medynų dalies skersmens ir vidutinio skersmens santykį, modeli galima naudoti vidutinio skersmens prognozavimui. Prasmė yra tame, kad prognozė bus susieta su stabilios medyno dalies augimu ir staigiu vidutinio skersmens pakeitimui atvejais ( dėl ugdymo ), ji liks apsaugota nuo augimo pobūdžio iškreipimo.

**АНАЛИЗ СДВИГОВ ДИНАМИЧЕСКОГО РАВНОВЕСИЯ В РАДИАЛЬНЫХ ПРИРОСТАХ ДЕРЕВЬЕВ СОСНОВЫХ НАСАЖДЕНИЙ ЛИТВЫ**

Йонас Григалюнас  
Литовский институт леса

Автореферат диссертации на соискание ученой степени  
доктора габилитации в области лесоведения  
Каунас - Гиренис, 1994

**ОБЩАЯ ХАРАКТЕРИСТИКА РАБОТЫ**

**Актуальность темы и состояние проблемы**

До настоящего времени основные проблемы в лесном секторе связаны с изучением строения насаждений, методами и точностью оценки таксационных показателей, ходом роста насаждений и его математическим моделированием, исследованиями прироста, продуктивности и производительности, формированием высокопродуктивных насаждений, оптимизацией рубок, селекцией. Высокие темпы загрязнения природной среды в последнее время выдвинули новую и весьма важную проблему оценки изменений в росте насаждений, тесно связанную с принудительными (антропогенного происхождения) сдвигами динамического равновесия климатических условий.

Воздействие загрязнения на окружающую среду имеет двойственный характер: прямым воздействием химических веществ уничтожается ассимиляционный аппарат растений, а при воздействии на климатические условия вызываются изменения в характере их роста. Более того, уничтожением газами слоя озона в тропосфере усиливается проникновение опасных для растений ультрафиолетовых лучей. С другой стороны, газы своим поглощением космических и отраженных от земной поверхности длинноволновых лучей создают тепличный эффект. Прогнозируется (R.Brown, E.Wolf, 1988), что в результате такого эффекта температура воздуха поднимется на 1,5 - 4,5°. Это повлечет изменение режима влажности, а в конечном итоге - климатических условий.

Результаты отрицательного антропогенного воздействия на рост лесных насаждений, как показывают мониторинговые данные мира и Литвы, весьма очевидны. Но последовательная оценка этих изменений из-за динамики климатических условий роста и различного прямого воздействия загрязненной среды на лес весьма сложная. Загрязнение в определенных условиях сначала может показать положительное влияние на рост, а затем вызвать деформацию, постепенное уменьшение прироста и даже гибель целых лесных массивов.

Рост и динамика прироста оцениваются различными методами, стандартами или их математическими моделями, разработанными в областях лесоведения и дендроклиматологии. Стандарты или модели хода роста, бонитирования, прироста предназначены для оценки производительности и классификации древостоя в текущем периоде. Но для оценки сдвигов в динамическом равновесии прироста эти методы не имеют открытой и стабильной системы отсчета, непосредственно связанной с текущим приростом и судить значимости сдвигов динамического равновесия климатических условий, вызывающих упомянутые изменения в росте, по ним возможности нет.

Антропогенное воздействие на изменение роста в конкретных объектах оценивается по чувствительным специальным моделям (Лиепа И., 1980), методу контрольного древостоя. Методами элиминируется влияние климатических флюктуаций. Но в историческом аспекте судить об изменениях в росте из-за отсутствия постоянной системы отсчета методы не позволяют.

Для оценки и прогнозирования климатических флюктуаций используется метод калибрации-верификации, основан на связях текущего прироста с определенными климатическими ингредиентами. Применение данного общепризнанного метода в наших целях ограничивается постоянством указанных связей, которые при сдвиге динамического равновесия климатических условий будут изменены (P.Jones, 1989) и имеющиеся стандартные параметры связей не смогут отобразить новых закономерностей. Изменение кардинальных точек ведущих факторов всегда меняет характер связей (Лиепа И., 1980).

В связи с указанными причинами в наших целях не могут быть использованы и другие дендрохронологические (спектрального анализа, эталонных дендрошкал) методы,

предназначенные для выявления относительных флюктуаций прироста и его прогнозирования. Рост относительными климатическими флюктуациями регламентируется только в текущем динамическом аспекте, и приrostы в относительном выражении не в силах охарактеризовать изменение их абсолютных величин, так как временные ряды приростов не увязаны со стабильной системой отсчета, регламентирующей величину прироста в конкретных условиях с учетом их сопоставимости в будущем. Без такой системы экологическая наука в области лесоведения, как показал и литературный анализ, оценить происходящие изменения не сможет. Не случайно на 10-ом Мировом лесоводственном конгрессе (Париж, 1991) было отмечено, что, несмотря на многочисленные исследования, обобщенных данных о реакции деревьев, других растений и почвенных организмов на происходящие серьезные физические (температура воздуха, влажность, интенсивность радиации, спектральные изменения) и химические ( $\text{CO}_2$ , прямое загрязнение воздуха) изменения в атмосфере нет. В связи с тем и инициационная модель климатических изменений не разработана. Поэтому верно обобщающее мнение эстонского исследователя А. Нильсона в том, что "до сих пор отсутствуют фоновые насаждения, которые позволили бы заметить глобальный дрейф растительных условий". Под такими "фоновыми насаждениями" мы понимаем научно обоснованную и постоянно действующую систему отсчета, позволяющую выявить значимость сдвигов динамического равновесия климатических условий на основе оценки изменения динамики текущего прироста деревьев лесных сообществ. В этих целях, имея возможность ретроспективно анализировать фоновым загрязнением слабо поврежденные текущие приросты, необходимо их соответственно структуризовать и разработать указанную систему в виде стандарта. Выявление изменений в росте представит возможность более глубоко оценить скорость происходящих изменений и определить особенности связей между природной средой и экономической деятельностью.

#### Цель работы

Работа предназначена для изучения динамики текущего радиального прироста доминирующей части древостоя самой распространенной главной породы Литвы - сосны -, создания системы оценки сдвигов динамического равновесия текущих приростов и разработки предварительной числовой модели стандарта оценки.

Работа охватывает следующие вопросы:

- анализ факторов, обуславливающих динамику текущих приростов в высоту и диаметр;
- обоснование стабильности и открытости системы отсчета для оценки происходящих изменений в росте;
- создание файлов текущих приростов по высоте и диаметру и выявление закономерностей их изменения в биологическом и дендрохронологическом аспектах;
- изучение и подбор текущий радиальный прирост нормирующих показателей и обоснование структуры стандарта по оценке изменений в росте;
- разработку предварительной числовой модели стандарта по оценке изменений по радиальному приросту для доминирующей части древостоя;
- подготовку методики для практического применения разработанной системы оценки изменений в росте;
- моделирование динамики густоты сосновых древостоя; моделирование хода роста по высоте и диаметру доминирующей части древостоя сосны (с учетом выявленных закономерностей таксационных показателей).

#### Научная новизна

1. Выявлены новые закономерности у средних кульминационных приростов по высоте и диаметру доминирующих в росте деревьев.
2. Установлены закономерности реакции текущих приростов по высоте и диаметру на изменившиеся климатические условия и условия роста.
3. Разработана не имеющая аналогов в лесоводственной и дендрохронологической науках система оценки изменений, происходящих в росте деревьев из-за прямого и косвенного

антропогенного воздействия на окружающую среду, и на ее основе для текущих радиальных приростов доминирующих деревьев составлена предварительная числовая модель для фиксирования этих изменений.

4. Усовершенствована теоретическая модель (Г.Хильми) динамики густоты сосновых древостоев.

5. На основе доминирующих деревьев разработаны новые более эффективные для сосновых молодняков математические модели хода роста по верхней высоте и диаметру.

#### На защиту вынесенные основные положения

1. Закономерность относительной стабильности среднего кульминационного прироста по диаметру ( $k_d = D_{старш}/D_{макс}$ ) доминирующих деревьев, сохраняющейся при натуральном изменении природных условий роста или интенсивном антропогенном воздействии на окружающую среду. Показатель ( $k_d$ ) отражает дальнейший рост, в стохастическом аспекте нормирует текущий прирост по диаметру и способствует его сопоставлению с приростами стандарта.

2. Методика и структура стандарта для оценки отклонения текущего радиального прироста от нормы в установленных условиях (оценки сдвигов динамического равновесия прироста), происходящего при антропогенном изменении окружающей среды.

3. Усовершенствованная модель динамики густоты сосновок.

4. Новые для сосновых молодняков математические модели роста по верхней высоте и диаметру.

#### Методика и информация

Вопросы сбора, обработки и анализа информации решены по общепринятым положениям в лесной таксации, лесоводству, дендрохронологии и математической статистике.

Данные собраны на постоянных и временных пробных площадях (пп), выделенных в: чистых по составу, не подвергнутых загрязнению, имеющих полноту 0,6-1,0 и 30-120-летний возраст сосновых древостоев естественного и культурного происхождения, растущих в условиях сухих и свежих нестопроизрастаний. Использовано 89 пп, текущие приrostы по высоте ( $Z_h$ ) измерены у 643, а радиальные ( $Z_r$ ) - у 1187 доминирующих деревьев. Общее количество измеренных годовых

колец превышает 70000. Информация собрана в районах преобладания сосновых древостоев. С целью выявления эффекта прямого загрязнения на рост деревьев, в зоне Ионавской фабрики азотных удобрений выделено 9 временных пп.

Ввиду того, что основными критериями при подборе пп являются условия нестопроизрастания и чистота состава, принятие в учет древостоев следует считать случайным.

Исходя из расчета, что на 1 га необходимо выбрать 25 доминирующих (по толщине) деревьев, на пп выбиралось в среднем 10-15 учетных деревьев, для каждого из которых на высоте 1,3 м с буравом Пресслера бралась одна, обязательно пересекающая сердцевину дерева, проба. Направление бурения для каждого последующего дерева систематически менялось на 90°. Толщина годичных колец измерена бинокулярным микроскопом (строго соблюдая перпендикулярность) с точностью 0,1 мм в одинаковых гидроскопических условиях.

С целью исключения ошибок в количестве годичных колец, при измерении использованы "реперные точки". Несколько деревьев, имевших исключительно другой характер роста, из состава информации было исключено.

Текущие приrostы по высоте измерялись с помощью сконструированной телескопически выдвигаемой маечи, позволяющей выполнять измерения до 20 и более м. Преимущество маечи в том, что при измерении она не требует базиса. Представленная формула показывает среднюю ±2-санитметровую точность измерения (см.литературу). Следы нувок, как показали наблюдения, сохраняет кора до 100 и больше лет.

Вся собранная информация хранится в компьютерной памяти и в отпечатках.

#### Публикации и объем работы

Основные методические решения и результаты исследований опубликованы в научных трудах, на Востоке и Западе организованных конференциях, журналах. Опубликовано 10 специализированных работ.

Диссертация включает 4 раздела, помещает 35 таблиц, 27 рисунков, 31 математическое выражение. В списке литературы - 152 наименования. Общий объем работы - 148 стр. компьютерного текста.

## АНАЛИЗ ПРОБЛЕМЫ И СОДЕРЖАНИЕ РАБОТЫ

Динамика текущего прироста деревьев зависит от возраста (времени), строения древостоя, биологических особенностей породы, антропогенной деятельности и совокупности экологических условий. В эту совокупность входит качество местопроизрастания, ценотические связи и множеством других факторов (вращение Земли, радиация Солнца, возбуждения космического пространства и гравитационных сил Солнца и Луны, процессы атмосферы и гидросферы) формируемый климат (Schweingruber F., 1989; Ловелиус Н. 1979; Горчаковский П., Шиятов С., 1985; Битвинскас Т., 1974; др.). А в последнее время к этим факторам добавились упомянутые последствия отрицательного антропогенного воздействия. Влияние некоторых факторов возможно оценить непосредственно, воздействие других оценивается в обобщенном виде в связи с совокупностью процессов, а влияние некоторой их части приходится отнести к "информационному шуму".

Самым элементарным, но выражающим суть изменения процесса роста является время. Только во времени выражены особенности воздействия рост обуславливающих факторов, так как связь между приростом и возрастом не является прямолинейной. В связи с этим фактор времени должен быть включен в состав роста фиксирующей системы.

Кроме биологических особенностей древесной породы, характер роста в большей мере определяется строением самого древостоя и в основном главным его элементом-первойчной густотой, регламентирующей величину абсолютного прироста в течение времени (Иванов Г., 1973; Drew T., Frewelling J., 1977, 1983; Разин Г., 1980; Тебера А., 1983; Кайрюкстис Л., Юодвалькис А., Ионикас Ю., Баркаускас А., 1983; Конставичюс И., Кулешис А., 1985; Кузничев В., 1980; Крыстанов К., 1987; др.). Поэтому при изучении динамики текущего прироста строению древостоя следует уделить особое внимание.

Различия в росте отображают и типы роста (Давидов М., 1971, 1980; Никитин А., 1983; Кулешис А., 1987, 1989; др.), существующие для всех древесных пород и географических районов. Возникновение их обусловлено генетическими, антропогенными и почвоструктурными факторами. Определили,

что в сосняках Литвы встречаются в основном два типа роста: ускоренный (17%) и нормальный (примерно 83% древостоя). Учитывая то обстоятельство, что более подробная структуризация информации по типам роста в наших целях ограничена (помещение роста в рамки дополнительных нормирующих показателей лишило бы открытости системы отсчета), подавляющая часть древостоя имеет нормальный тип роста, а примерно 20-30% деревьев из числа доминирующих в одинаковых условиях местопроизрастания имеют различный характер роста (Розанов М., Несторов В., Кириенко Г., 1975) и тем самым перекрывают различия между типами роста, также имеющими промежуточные положения (континuum), в обобщенной системе по оценке изменений роста влияние типов роста целесообразно отнести к "информационному шуму". Возникающие из-за этого погрешности в абсолютных величинах прироста тогда будут отражены в оцененных стандартных ошибках.

Характер роста во многом зависит от биологических особенностей породы, на которые всю жизнь дерева влияют ценотические связи, климатические флюктуации, лесохозяйственная и другая антропогенная деятельность. Для характеристики биогеоценозов, а тем самым и гомогенности роста, предлагаются сложные системы классификации, содержащие целый ряд нормирующих показателей (климатическая зона, субзона, происхождение древостоя, тип местопроизрастания, возрастная структура, породный состав, первичная густота, антропогенное воздействие и др.). Включение всех этих классификационных элементов в состав системы оценки изменений роста из-за существующих между ними связей не целесообразно. Поэтому такие классификации и остались только на уровне предложений. Следует использовать обобщенные, характеризующие биологико-экологические связи, производные показатели, наиболее точно отображающие динамику прироста и соответствующие другим требованиям системы отсчета.

Рост связи с происхождением древостоя (Вуевский Д., 1940; Рубцов В., 1964; Захаров В., 1964; Тимофеев В., 1965; Юодвалькис А., Ионикас Ю., 1985; др.). Выявленная наибольшая производительность лесных культур достигается за счет большей их густоты. Но рост доминирующих деревьев насаждений естественного и искусственного происхождения довольно сходный.

Влияние рубок ухода в молодняках прослеживается появлением светового прироста и по механическому сдвигу средних таксационных показателей (Кайрюкштис Л., Юодвалькис А., Ионикас Ю., Баркаускас А., 1980, 1983, 1985; Лиепа И., 1980 др.). Но рубки ухода слабо влияют на рост доминирующих деревьев (Кайрюкштис Л., 1969; Цветков В., 1978). Упираясь на свой генетический потенциал, эти деревья часто полностью используют свой ассимиляционный аппарат и пространство и значительно увеличивать прирост уже не в силе (Фрей Т., 1978), т.е. некоторое увеличение пространства произрастания не способно возбудить механизм саморегуляции и система остается стабильной (Буш К., Иевинь И., 1984). Но имеются и противоположные данные (Лобжанидзе Е., 1975).

Также известно, что: влияние загрязнения окружающей среды на рост доминирующих деревьев после рубок ухода увеличивается (Ионикас Ю., Юодвалькис А., 1986) и эти деревья для нашей цели становятся более информативными; доминирующие деревья редко меняют свой ранг в древостое (Кайрюкштис Л., 1969; Антанайтис В., Тебера А., Шепетене Я., 1986, др.). Сказанное подтверждает, что при построении стабильной системы отсчета для оценки изменений в росте во всех отношениях следует использовать информацию только доминирующих деревьев и в частности из-за того, что влияние лесохозяйственных мероприятий на их рост является наименьшим (Лакида П., 1985; Burhard H., 1977; Pollanschutz J., 1974; Petrin P., 1987; Turner B., Bernatz R., Dargavel J., 1977; Матузанис А., Тауриньш Я., 1972; Grut M., 1977; Hagglung B., 1975; др.,).

Наибольшую динамичность прироста вызывают климатические флюктуации. Наиболее ярко они отражаются на доминирующих деревьях (Bohuslav V., 1986; Бузыкин А., Дашковская И., Хлебопрос П., 1986; Гортинский Г., 1986) и при больших отрицательных их фазах (Кабуцис И., Никодемус О., Раман К., 1986; Schweingruber F., 1989; Арнолайтис К., Вайчис М., 1986; Пастернак П., Ворон В., 1986). Поэтому фиксирование климатических флюктуаций в стандарте обязательно.

При решении методических вопросов построения стандарта учтены также и следующие положения: для выявления изменений в росте необходимо иметь систему отсчета (Нильсон А., Кивисте А., 1986; Скулькин В., 1986); связь между радиальным приростом и климатическими факторами в одинаковых условиях нестопроизрастания может быть достаточно различная, что

значительно осложняет пролонгацию дендрошкала (Schweingruber F., 1988), и также из-за этих различий (шкалы не сохраняют особенностей роста индивидуальных деревьев) имеющиеся обобщенные дендрохронологические шкалы не могут быть использованы при оценке сдвигов в динамическом равновесии прироста (Григалюнас Я., 1992, 1993); включение приростов в молодом возрасте в состав дендрошкала часто эти шкалы (из-за отсутствия синхронизации между приростом и климатическими флюктуациями) искают (Grigaliunas J., 1993); связь между отдельными климатическими ингредиентами и радиальным приростом довольно тесная (Юкнис Р., 1990; Венцкус А., 1986; Карманова И., 1976; Кайрюкштис Л., Юодвалькис А., 1986), но при изменении климатических условий форма связи меняется от прямолинейной до квадратной, а при более высоких температурах выражается функцией  $y=ax^4$  (Карманова И., 1976), что свидетельствует о необходимости климатические условия в стандарте фиксировать в интегральной форме.

Анализ приростов доминирующих деревьев (наилучшего развития из части А класса по Крафту) показал, что место каждой кривой во всем сенействе кривых роста по высоте (H) и диаметру (D) характеризуется средним кульминационным приростом ( $k_h$  или  $k_d$ ), вычисленным в момент кульмации текущих приростов ( $Z_{h\max}$  или  $Z_{d\max}$ , соответственно (уравнение 1)). Средний кульминационный прирост вычисляется в момент первой кульмации текущего прироста. Показатели  $k_h$  и  $k_d$  отражают начальный период формирования древостоя и характеризуют дальнейший рост доминирующих деревьев (таблица 1).

Существует возможность  $k_h$  или  $k_d$  вычислять в момент их максимума (это решило бы вопрос учета типов роста), но тогда учет деревьев примерно до 35 лет станет невозможным (кульмация наступает выше 35 лет).

На основании в натуре измеренных текущих приростов по высоте и диаметру составленные кривые хода роста доминирующих деревьев без учета нестопроизрастания и происхождения до 50-60-летнего возраста почти не пересекаются. Связь между порядком расположения обобщенных кривых хода роста по высоте и диаметру в пределах 20-25-летнего возраста и величинами  $k_h$  и  $k_d$  характеризуется высоким коэффициентом корреляции:  $r_{k_h}=0,963 \pm 0,009$ ;

$r_{ka}=0,887 \pm 0,025$ . Связь между таким же расположением кривых и  $k_h$  в пределах 60-70 -летнего возраста также тесная:  $r=0,827 \pm 0,028$ . Этот признак свидетельствует о возможности использования кульминационных приростов  $k_h$  и  $ka$  в качестве нормирующих показателей в системе отсчета при оценке изменений роста.

Величины  $k_h$  и  $ka$  характеризуются биологическими особенностями породы, строением древостоев и экологическими условиями.

Влияние строения древостоев выражается различием первичной густоты. Исследования на биофизическом стационаре Ели показали, что при одинаковых условиях нестопроизрастания густота меняет только компоненту показателя  $ka$  - средний диаметр, а кульминационный возраст остается без изменений (таблица 2). Таким образом показатель  $ka$  отражает густоту древостоя, которая является нормирующим фактором во многих лесхозяйственных стандартах.

Аналогично условиям нестопроизрастания, загрязнение окружающей среды меняет оба ингредиента показателей  $k_h$  и  $ka$ . Для  $k_h$ , например, это видно по данным таблицы 3. Очевидно, что ингредиенты  $A_{max}$  и  $N_{max}$  у деревьев сравниваемых древостоев, достигших кульминации текущего прироста по высоте до начала загрязнения (пп 1L, 3L, 9L) и созданных при его наличии и также достигших кульминации прироста (пп 2L, 4L, 5L), при близких  $k_h$  меняются довольно сильно, но сами величины  $k_h$  изменяются незначительно. Изменение этих ингредиентов зависит от расстояния до источника загрязнения (некоторое время поллютанты могут способствовать росту, а затем довести древостой до гибели).

В таблице 3 была показана относительная стабильность кульминационного прироста, но она при сопоставлении текущих приростов в системе отсчета не обязательна, так как каждая кривая роста в нормальных условиях характеризуется только ей свойственной величиной  $k_h$  и  $ka$ . Эта закономерность и представляет возможность для сопоставления роста поврежденных и не поврежденных древостоев. Приrostы у поврежденных и неповрежденных (принимаемых в качестве стандарта) древостоев, имеющих одинаковые показатели  $k_h$  или  $ka$  и другие нормирующие признаки, будут различными. Это поясняется появлением в поврежденных древостоев процесса принудительного преждевременного старения (Науринь

А., 1886; Юкнис Р., 1980). В поврежденных древостоях, как было показано раньше, изменение точки кульминации текущего прироста одновременно искашает и натуральный ряд развития древостоя. Сказанное иллюстрируют данные таблицы 4. В таблице сопоставлен рост по диаметру поврежденного (1L) и ряда неповрежденных, имеющих сходные  $ka$ , древостоев. Расстояние фабрики азотных удобрений от пп 1L - 7km. Процесс загрязнения проявил себя неоднозначно. Сначала прирост на пп 1L по сравнению с приростами других пп примерно 10 лет увеличивался, а затем начал угасать.

Возможность сопоставления роста древостоев на базе нормирующих показателей указывает на необходимость составления нормированных рядов текущих приростов ( $Z_h$  или  $Z_r$ ), которые станут постоянной основой отсчета в системе оценки изменений в росте. Эти ряды должны быть составлены на ретроспективной информации до появления более ощущимого фонового загрязнения.

Завершая характеристику кульминационных приростов, следует отметить, что они в качестве нормирующих показателей могут быть использованы по следующим соображениям:

- $k_h$  или  $ka$  являются производными показателями и отображают строение древостоев;
- долгое время характеризуют рост по высоте или диаметру;
- являются относительно стабильными и составляют открытую систему отсчета;

- для каждого дерева легко определяются ретроспективно.

Система оценки изменений в росте может быть разработана на основе прироста по высоте ( $Z_h$ ) или по радиусу ( $Z_r$ ). Анализ показал, что более информативным является  $Z_r$ , что и определило выбор основы стандарта.

Выявлена такая  $Z_r$  и  $Z_h$  и их кульминационных приростов изменчивость:

$V_{zh}=\pm 27,5\%$ ,  $V_{rh}=\pm 12\%$ ;  $V_{zr}=\pm 34,5\%$ ,  $V_{ka}=\pm 23\%$ . Изменчивость дендрохронологических индексов у радиальных приростов ( $I_{rz}$ ) значительно ниже:  $V_{izh}=\pm 28,7\%$ ,  $V_{irh}=\pm 17,3\%$ ; амплитуда индексов прироста по высоте в пределах фазы меньше у  $Z_h$ :  $I_{zhmin}=89,4\%$ ,  $I_{zhmax}=107,8\%$ ;  $I_{rhmin}=83,2\%$ ,  $I_{rhmax}=115\%$ . Меньшая изменчивость  $I_{rz}$  и расширенная амплитуда в пределах календарных лет показывает, что при климатических колебаниях характер радиального прироста

меняется более однозначно и тем самым демонстрирует их чувствительность. Графическое сопоставление на идентичном материале разработанных дендрохронологических шкал для приростов по высоте и диаметру показало, что индексная кривая радиальных приростов в отношении календарных лет лежит вопреки индексной кривой приростов по высоте и тем показывает более резкую реакцию на изменившиеся условия. Кроме того, совпадение направлений изменения индексов у радиальных приростов ( $IT_{dh}$ ) также выше. И если  $IT_{dh}$  в пределах серии календарных лет колеблется в пределах 87-17% и в пределах всего индексного ряда (1800-1982гг.) нет ни одного "точечного значения" (случаи, когда при благоприятных условиях все индексы приближаются к 100%, а при неблагоприятных стремятся к 0% (Schweingruber F., 1989)), то в рядах  $I_{dh}$  таких "точек" 15.

Сопоставление приростов  $Z_x$  и  $Z_y$  и динамики их индексов с динамикой индексов дендрохронологических шкал выявило случаи, когда в молодом возрасте динамика приростов и индексов полностью асинхронна динамике индексов обобщенных дендрошкал. Это случаи, когда начало роста дерева (древостоя) не совпадает с fazami климатических flуктуаций. В тех случаях синхронизация роста и климатических условий начинается примерно в 15-18 -летнем возрасте. В этот промежуток времени входит и период спада текущего прироста по высоте, проявляющегося после достижения его кульминации. Эта закономерность существует при любых климатических flуктуациях и выражается математическими связями продолжительности и "глубины" спада прироста с кульминационным приростом  $k_y$ . Поэтому при составлении и пролонгации дендрохронологических шкал информация о приростах в молодом возрасте не должна быть использована. Этим же определяется и минимальный возраст в разрабатываемом стандарте.

Вопрос возможности объединения информации в объеме территории Литвы был снят с учета с помощью расчета показателя синхронности изменения радиальных приростов, который в пределах календарных лет никаких различий в этом не показал.

При составлении дендрохронологических рядов используется скользящая средняя. Выбор ее величины для расчета индексов радиальных приростов (нормирующих величин)

связан со способностью отобразить наиболее часто проявляющиеся периоды flуктуаций с наименьшим искажением абсолютных радиальных приростов. При помощи расчета суммы квадратов отклонений между первичными и индексированными приростами была выявлена целесообразность использования 11-летнего периода. Этот период наиболее близок к цикличности солнечной активности, мало искажает абсолютные приrostы и наименее реагирует на лесохозяйственные мероприятия.

Амплитуды кратковременных циклов регламентируются длиннопериодическими циклами. При совпадении фаз, амплитуды положительных или отрицательных кратковременных циклов всегда по своей абсолютной величине будут выше. Поэтому при разработке стандарта оценки изменений прироста необходимо использовать информацию, собранную за широкий промежуток времени (использованы текущие радиальные приросты за период 1882-1982гг.).

С целью статистической оценки радиальных приростов стандарта, с помощью критерия хи-квадрат была проверена нормальность их распределения в пределах групп нормирующих показателей ( $ka, I_{dh}$ ) и возраста. При объеме 30 наблюдений распределение  $Z_y$  приближается к нормальному.

На основе ранее принятых решений (в качестве функции в стандарте использовать радиальные приросты; в состав нормирующих показателей принять между собой не связанные возраст, средний кульминационный прирост по диаметру и индекс радиальных приростов; основным источником информации о радиальных приростах считать не поврежденные сосновые древостоя сухих и свежих условий нестопроизрастания с наибольшим времененным диапазоном по их происхождению; за минимальный возраст в стандарте принять 15 лет; основу системы отсчета должны составлять доминирующие в росте дерева (25 ед/га); flуктуации приростов стандартизировать по 11-летнему периоду (климатические flуктуации при этом рассматриваются в интегральном виде); информацию по радиальным приростам в отношении нормирующих приростов систематизировать на основе отдельных деревьев), обеспечивающих постоянство и открытость системы отсчета, радиальные приросты с помощью компьютера были распределены по возрасту и группам  $ka$  и  $I_{dh}$ . Интервалы групп:  $A=1$  год;  $ka=0,1\text{cm/g.}$ ;  $I_{dh}=4\%$ . Фрагмент распределения средних радиальных приростов по данным группам (рис.1) отображает

систему элиминирования климатических флюктуаций в связи с другими показателями и является полностью закономерным: с увеличением возраста, прирост уменьшается; с улучшением климатических условий прирост увеличивается. Такие же закономерности существуют и для других групп  $k_A$  (0,2;0,3).

На рис.2 показано распределение средних значений текущих радиальных приростов в связи со средними кульминационными приростами  $k_A$ . Распределение также закономерное: с увеличением кульминационного прироста, текущий радиальный прирост при том же самом возрасте и группах индексов увеличивается. Средние значения текущих радиальных приростов закономерно распределяются и при других возрастах. Величины функции  $Z_r=f(A;k_A=\text{const};I_{rz}=\text{const.})$  также разнствуются закономерно.

Аналитическое выравнивание кривых разнствия приростов в отношении нормирующих показателей ( $Z_r=f(I_{rz}, A=\text{const.}, k_A=\text{const.})$ ,  $Z_r=f(A, k_A=\text{const.}, I_{rz}=\text{const.})$ ) для возрастов  $A=15, 20, 30, 40, 50$  лет, индексов прироста 64-136% и трех групп кульминационного прироста (0,2;0,3;0,4) показало, что только 3 кривые (из 15) из-за некоторого недостатка информации отобразили в крайних значениях  $I_{rz}$  в отношении остальных кривых несколько иной вид разнствия приростов.

Полученные числовые выражения зависимости  $Z_r=f(A, k_A, I_{rz})$  представляют возможность утверждать, что стандарт оценки сдвигов динамического равновесия в радиальных приростах сосновых насаждений в теоретическом аспекте является объективным, а его структура применена для практического применения. Прелиниарная числовая модель стандарта представлена в таблице 5.

Для усредненных текущих радиальных приростов ( $Z_r$ ) каждой группы  $A, k_A$  и  $I_{rz}$  нормирующих показателей имеются статистические показатели, оцененные стандартные ошибки средних и вычисленные доверительные интервалы. Следует лишь в качестве грубого примера отметить, что для всех возрастов и групп  $k_A$  с учетом величин выборок, усредненные величины доверительных интервалов для всей линии таковы:  $S_y'=0,211\text{мм}$  ( $I_{rz}=64\%$ );  $S_y'=0,196\text{мм}$  ( $I_{rz}=100\%$ );  $S_y'=0,207\text{мм}$  ( $I_{rz}=136\%$ ).

Исуществующие статистические показатели для каждого усредненного радиального прироста в стандарте необходимы при сопоставлении этих  $Z_r$  в пределах возраста и групп  $k_A$  и  $I_{rz}$  с приростом изучаемых объектов. В работе представлен алгоритм подготовки информации к сопоставлению.

Стандартные радиальные приросты отдельных нормирующих групп при включении дополнительной информации могут быть несколько уточнены.

Кульминационные приросты по высоте и диаметру использованы для моделирования роста доминирующей части сосновых древостояев. Разработаны новые математические модели роста по высоте и диаметру и модифицирована теоретическая модель Хильми (Хильми Г., 1955) для прогноза изреживания сосновых насаждений.

Базовая модель Хильми и модифицированная модель приведены в уравнениях 2 и 3. В них:  $N_t$ - густота древостоя в момент ( $t$ );  $\bar{N}$ - предельная густота на  $1\text{га}$ ;  $N_0$ - начальная густота на  $1\text{га}$ ;  $N_t$ - густота в момент исследования на  $1\text{га}$ ;  $e=2,718281$ ;  $\alpha$  и  $\beta_k$ - постоянный и динамический (соответственно) коэффициенты изреживания;  $t_0$ - начальный возраст;  $A_m$ - возраст в момент исследования. Параметры  $\beta_k$  для сосняков Литвы приведены рядом с характеристикой 4-ого уравнения. Связь предельной густоты с кульминационным приростом приведена в уравнении 5.

Особенности и преимущества модифицированной модели таковы: представляет возможность прогнозировать густоту для каждого отдельного древостоя; не требует первичной густоты; не требует определения бонитетного класса; не включает других прогнозируемых показателей; точность прогноза не связана с продолжительностью периода прогноза. Модель обеспечивает примененную  $\pm 12\%$ -ную точность прогноза (точность базового варианта  $\pm 30\%$ ).

Рост по верхней высоте выражен уравнением 6. В уравнении:  $H_t$ - высота в возрасте  $A$  (г);  $k_h$ - кульминационный прирост по высоте ( $\text{м}/\text{год}$ );  $th$ -гиперболический тангенс;  $h_0$ - высота в базовом возрасте (в 100 лет);  $A$ - возраст, годы;  $a, b$ - параметры. Функция соответствует всем требованиям (начинается в начале координат, строго возрастая, асимптотически приближается к параллели абсцисс, имеет одну точку перегиба, первая производная начинается в пересечении координат, кривая прироста по обе стороны максимума имеет по

одной точке перегиба). Параметры модели расчитаны для нормального и ускоренного типов роста сосновок. Использованы в натуре измеренные текущие приросты. Параметры ( $a$  и  $b$ ) увязаны с аргументом  $k_1$  в пределах отдельных кривых семейства и выражены в обобщенном виде для всего семейства. Аналогичные расчеты выполнены и по уравнению Мичерлиха. Суммы квадратов отклонений для отдельных кривых несколько выше у уравнения 8, но аппроксимация обобщенного вида для этого уравнения более точная, так как разбросанность параметров  $a$  и  $b$  по сравнению с параметрами функции Мичерлиха ( $a, k$ ) - меньшая.

Расчет параметров функции Мичерлиха для конкретного древостоя требует трех измеренных высот между удаленными возрастами. Такие измерения в молодняках возможны только в узком возрастном диапазоне, что модель Мичерлиха может привести к полной непригодности.

Функция (8) может быть использована для динамического бонитирования сосновок Литвы по верхней высоте, так как легко поддается коррекции, а при увязке со средней высотой - и для ее прогнозирования.

Аналогичные расчеты по оценке точности выполнены и для разработанной модели хода роста по верхнему диаметру (уравнение 7). В уравнении:  $k_1$  - кульминационный прирост по диаметру (см/год);  $d_b$  - базовый диаметр (при  $A=100$  лет, см).

Уравнение по отдельным кривым также незначительно уступает модели Мичерлиха, но параметры его обобщения (для всего семейства кривых) лучше, чем при обобщении модели Мичерлиха.

Определив соотношение между верхним и средним диаметрами, ее можно использовать и для прогноза среднего диаметра. Суть состоит в том, что прогноз будет увязан с ростом стабильной части древостоя и при резких изменениях среднего диаметра (рубки ухода), он (Dep.) будет защищен от искажения.

### ANALYSIS OF DYNAMIC EQUILIBRIUM SHIFTS IN RADIAL INCREMENT OF PINE STANDS IN LITHUANIA

JONAS GRIGALIONAS  
Lithuanian Forest Research Institute  
Girionys, Kaunas, 1994

Theses of dissertation in the field of forest  
science for habilitated doctor's degree.

The 10-th World Congress on silviculture (Paris, 1991) has shown that in spite of numerous research works in this field generalized data of the reaction of trees, other plants and soil organisms upon the significant physical (air temperature, humidity, radiation intensity, spectral changes) and chemical ( $CO_2$ , air pollution) changes taking place in the atmosphere do not exist. Therefore, there has been no simulation model of the climatic variations worked out as yet.

An Estonian researcher A.Nilson has introduced a fair generalizing idea: "Until now there are no background forest stands which might allow to observe a global drift of the vegetative conditions". These "background stands" may be understood as a scientifically substantiated and permanently functioning assessment system, allowing to reveal the shifts of dynamic equilibrium of the climatic conditions and resting upon the basis of assessment of the dynamics of the current increment of trees of forest associations.

The work covers: an analysis of the existing sylvicultural and dendroclimatological standards and methods in respect to the assessment of variations in growth; an analysis of factors stipulating dynamics of the current increments on height ( $Z_h$ ) and radial ( $Z_r$ ), and revealing of

independent between each other variables to use them as normalizing indices when generalizing the dynamics of the increments; revealing of biological and dendroclimatological regularities of current increments, assessment of their informativity and the development of a system to assess variations in increments as a standard; the development and assessment of preliminary numerical model of the standard and algorithm of its practical application.

There have been revealed:

1) the application of silvicultural standards (models of growth, valuation, increment) and dendrochronological methods (control forest stand, calibration - verification, spectral analysis, etc.) for the assessment of changes in growth is not possible because they do not possess any open and stable assessment system;

2) as a basis of the function of the standard should be taken a current radial increment ( $Z_r$ ) of dominant trees.  $Z_r$  in comparison with  $Z_h$  ( $Z_r$  indices precede  $I_m$ ) reacts more sharply and more uniquely to the variations of climatic conditions (within 1900-1982 15 "base points" by interval trend (Schweingruber F. 1989) were observed, when all indices were about 100% or 0%); the variability of  $I_{sr}$  within one calendar year was smaller ( $V_{isr}=\pm 17,3\%$ ;  $V_{sh}=\pm 26,7\%$ ) though the amplitude of their fluctuations was higher ( $I_{shmin}=89,4\%$ ,  $I_{shmax}=107,8\%$ ;  $I_{srmin}=83,2\%$ ,  $I_{srmax}=115\%$ ); the variability of  $Z_r$  little exceeds  $V_{sh}$  ( $V_{sr}=\pm 34,5\%$ ,  $V_{sh}=\pm 27,5\%$ ); measurement process of  $Z_r$  is less problematic;

3) as normalizing indices one should take to dominant (prevailing in respect to growth by A class of Craft) trees: age of trees (A), average radial culmination increment ( $k_d$ ) and radial increment index ( $I_{sr}$ ).

The index  $k_d$  is defined by Equation 1 where  $D_{srmax}$  is the diameter in the time of first maximum  $Z_r$  (in all line of increments), cm;  $A_{srmax}$  is the age in moment of  $Z_{srmax}$ , in year. The index  $k_d$  expresses the growth of trees within long term (Table 1). In the family of diameter growth curves each curve (formed from yearly measurements  $Z_r$  of dominant trees) is being distributed according to the level of  $k_d$ : the arrangement of the curves in accordance to  $k_d$  in the age of  $A=20-25$  years is characterized by the high correlation

coefficient:  $r=0,897\pm 0,025$ , and at  $A=60-70$  years  $r=0,927\pm 0,028$ ;  $k_d$  reflects the initial density (Table 2);  $k_d$  (and  $k_h$ , Table 3) maintains a relative stability even when exposed to contamination; this influence changes at the same time both ingredients of  $k_d$  ( $D_{srmax}$  and  $A_{srmax}$ ), while the structure of the forest stand (Table 2) changes only one. Aforesaid confirms a hypothesis about the possibility of using  $k_d$  as a normalizing index: in future forest stands, at the equal  $k_d$ , will have close  $Z_r$  (in the limits of variability and assumed "information noise", because the growth types, for example, due to small number of forest stands (17%), having another type of growth, and due to the fact that at the same site conditions forest stand up to 20-30% of trees have different character of growth and thus exceed the features of growth types, are not being taken into consideration. But under the air pollution (Table 4), when  $k_d$  are close (in the fragment the diameters (d) of the damaged sample plot 1L are being compared with (d) undamaged stands ( $I^*$  - start of influence)) the growth varies: at first some positive influence of outbursts (growth in 1L increases) is being observed and then - oppressive one. The index  $k_d$  has allowed to notice the changes of the growth and the index  $I_{sr}$  allows to eliminate the dinamic fluctuations;

4) retrospective information of trees which have not been damaged by air pollution must be used as a base of standard. The information must be collected on a dry and fresh sites. It is necessary that the increment data should cover the long period as possible. In respect to hundred-year-old  $Z_r$  fluctuations the data of 1882-1992 term have been used (70000 measurements);

5) to determine, as a minimum, 15 years age in the standard; it has been revealed that at the younger age the start of the growth may have an opposite character to the generalized series of dendrochronological indices; this should be taken into consideration in prolongation of the dendroscales;

6) the primary level of the assessment system stability should be made up of 25 dominant sample trees per ha; they react more effectively upon the climatic fluctuations, they

are almost insensitive to the economic activities in a forest stands, under concrete conditions have higher limit of increment and almost do not change the rank;

7) the indices of radial increments must be computed according to 11-year sliding period then the absolute increments are being distorted least of all and the periodicity of fluctuations is expressed quite enough;

8) to assess integrally the influence of the climatic conditions upon the variability of increment in the construction of standard. The varying climatic conditions change not only the character of relation with increment (from linear to 4-th order exponent, I.Karmanova,1978),but, also, relations between ingredients themselves. Therefore, the ascertained relations  $Z_r$  with separate ingredients and with their seasonal fluctuation may accept other character, and the existing models will be distorted;

9) the normalizing indices should provide openness of the assessment (reading) system ( $Z_r$  in relation to time should not be limited by constant values of indices which are not amenable to assessment at the shifts of the dynamic equilibrium of the climatic conditions);

10) the information about increments according to the groups of  $I_{sr}, k_d$  and separate years should be systematized after the data of individual trees. The value of the groups is:  $I_{sr}=4\%$ ;  $k_d=0,1cm/year$ .

The obtained results (Fig.1) show the validity of the solutions: as the age (A) increases  $Z_r$  decreases; when the climatic conditions are being improved ( $I_{sr}$ ),  $Z_r$  increases (the same is valid for the other  $k_d=0,2;0,3$  groups). The arrangement of averaged  $Z_r$  follows regularity also in the limits of the groups A and  $I_{sr}$  (Fig.2): when  $k_d$  increases  $Z_r$  also increases (the same is valid for other groups after A). The data of the function  $Z_r=f(I_{sr}, k_d=const, A=const)$  are also arranged in regular order. Therefore, the structure of the standard ( $Z_r=f(A, k_d, I_{sr})$ ) is proved scientifically and acceptable in practice. The distribution of  $Z_r$  after A and groups  $k_d, I_{sr}$  at  $N=30$  approaches to normal, and this has allowed to form the confident intervals taking into account the total number of the groups (Nikitin K., Shvidenko A.,1978). There are statistical indices to compare data when using a standart. The algorithm of comparison has been

worked out. The preliminar numerical data of standard, after the analytical-graphic smoothing, are illustrated in Table 5.

The revealed properties of  $k_d$  have been used in modification of basic model Chilmi (Chilmi G.,1955) of density dynamics of pine forests (Equation 2 - 5; average accuracy of prognosis is  $\pm 12\%$  against  $\pm 30\%$  of basic one), also in the design of growth models in hight (Eq.6) and diameter (Eq.7).

In the equations 2-5:  $N_t$ - stand density in a moment (t) (number of trees per ha);  $\bar{N}$ - limit of density (number of trees per ha) in old age;  $N_A$ - density at the observation moment;  $e=2,718281$ ;  $a, b$ - stable and dynamical coefficients of tree rarefaction (respectively);  $t_0$ - start age;  $A_m$  - age at the observation moment.

In the equations (6) and (7)  $a, b$  are parameters;  $th$  - hyperbolic tangent;  $d_b, h_b$  are corresponding basic diameter (at the  $A=100$  year) in cm and height in m. The models (6) and (7) in a generalized form (for family of curves) have shown somewhat better results in comparison to the generaziled ones after Mitscherlich's model. In yonger age the use of models, after the relationships  $h_{dom}/h_{av}$  and  $d_{dom}/d_{av}$  have been revealed, is rational in that they are more accurate and are linked with the limit of growth. Measurements of heights or diameters in young trees at three different ages in more distant points after A are not possible, while measurements in immediately adjacent ones might lead to the distortions of growth, and Mitscherlich's model would loose insignificant advantages in accuracy for the individual stands. It is advisable to use the model (6) for the dynamic valuation according to the upper height.

## STRAIPSNIAI IR PRANESIMAI

## ARTICLES AND REPORTS

- I. Grigaliūnas J. Pušynų augimo į aukštį vertinimo sistema // Ž. Girios, 1987, Nr. 6, p. 6-8.
- II. Grigaliūnas J. Pušynų augimo prognozavimo sistemos ūkinėi veiklai planuoti elementai // XXXIV deštytojų mokslinės konferencijos pranešimai. Kaunas - Akademija, 1989.
- III. Kairiukstis L., Grigaliūnas J., Skuodiene L., Stravinskienė V. Physiological and dendrochronological indications of forest decline and their application for monitoring // Presentation at the Workshop on Forest Decline and Reproduction: Regional and Global Consequences to be held in Krakow, Poland. 23-28 March, 1987.
- IV. Kairiukstis L., Skuodiene L., Vaicys M., Ozolincius R. Armolaitis K., Petriūnas V., Stravinskienė V., Grigaliūnas J., Kiliukevičius G. Forest decline and Environmental Assessment. Kaunas - Girionys, 1992, p. 31-32.
- V. Grigaliūnas J. Application of average increment at the time of its maximum for establishment of baseline of tree growth independent from environmental fluctuation // Presentation at the International Workshop on Dendrochronology "Tree rings studies and forest decline", Lithuania, Kaunas, June 21-26, 1993; Vytautas Magnus University, Lithuanian Forest Research Institute.
- VI. Григалюнас И.И. Поиск стратегии прогнозирования роста сосновых древостоев // Стабильность и продуктивность лесных экосистем. Тезисы докладов Всесоюзного совещания "Стабильность и энергетическая эффективность высокопродуктивных биогеоценозов" (29-31 октября), Тарту, 1985, с. 38-40.
- VII. Григалюнас И. Способ измерения прироста деревьев хвойных пород в высоту и устройство для его выполнения // Ж. Лесное хозяйство, 1988, № 8, с. 42-43.
- VIII. Григалюнас И. Динамика роста сосновок в высоту в системе прогноза и мониторинга // Всесоюзная научно-техническая конференция "Роль проектных и научных разработок в ускорении научно-технического прогресса лесохозяйственного производства". Тезисы докладов. Москва, 1988 г. с. 172-174.
- IX. Григалюнас И. Прогнозирование динамики количества деревьев в сосновых древостоях Литвы // Ж. Лесоведение, 1991, № 3, с. 14-19.
- X. Григалюнас И. Основы системы оценки изменений в росте сосновых древостоев по высоте в результате загрязнения среды и сдвигов в динамическом равновесии природных условий // Lietuvos miškų institutas, Mokslo darbai, Miškų ūkis. Vilnius - Mokslas, 1991, 31 t., p. 81-97.